

Gabriele Paparo

Embajada de Italia-Buenos Aires

CNR-ICES (Roma)

*Metodologías para la previsión de  
fenómenos catastróficos*

*G. Paparo, G. P. Gregori, J. E. Ruzzante*

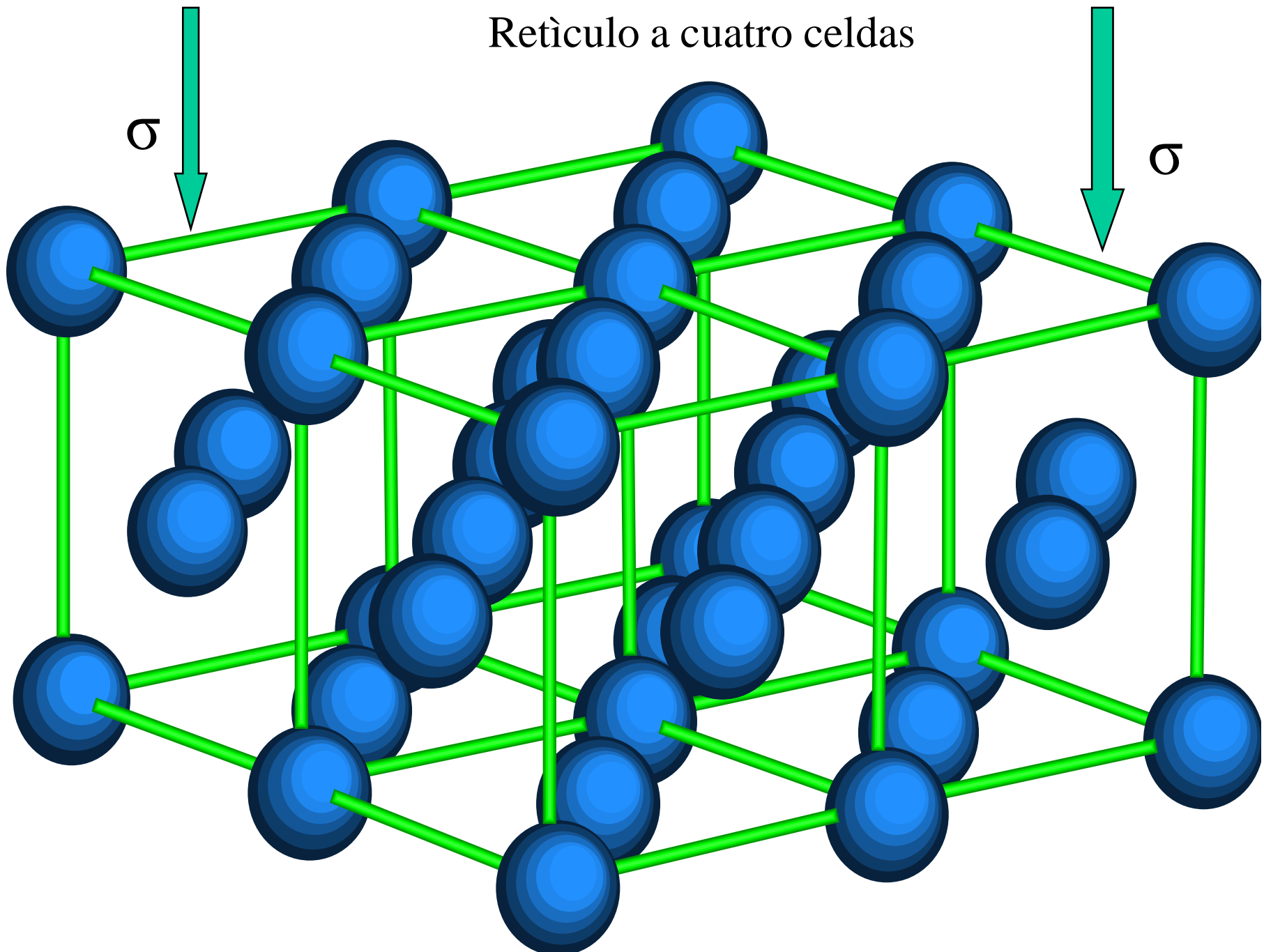
*Mendoza 21-22 de Mayo 2009*

## *Los Ultrasonidos*

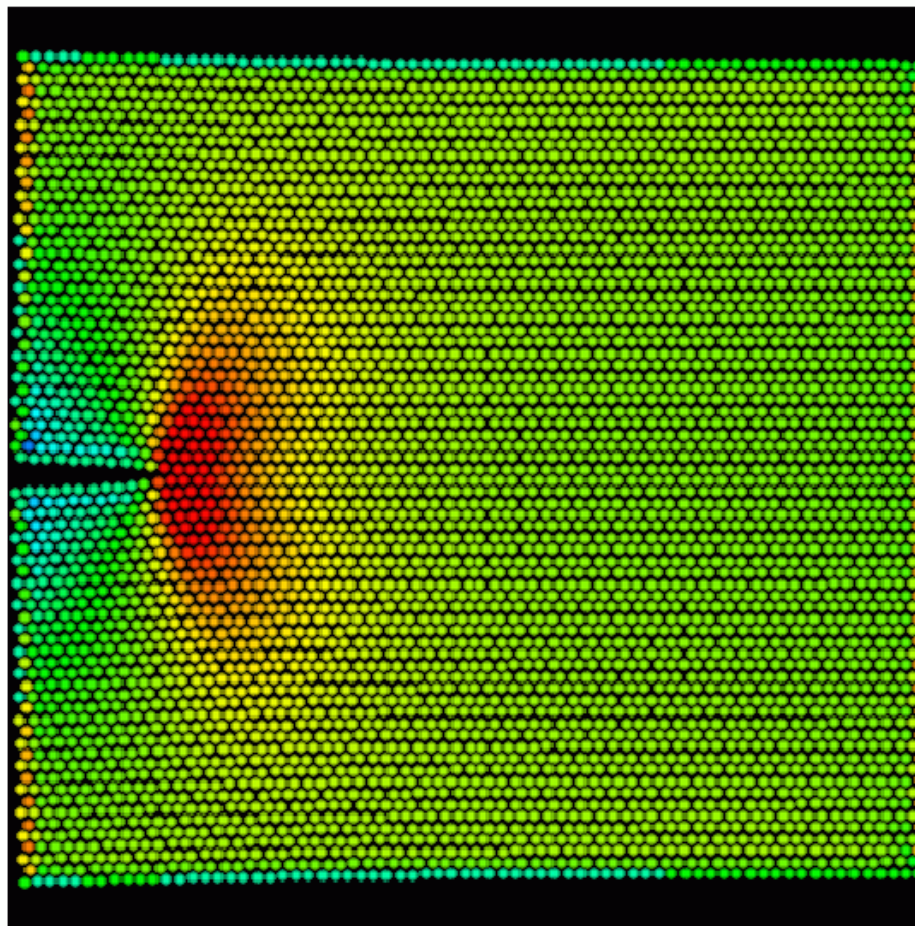
Un cuerpo que vibra, engendra una onda elastica, definida **onda sonora** si su frecuencia es en la banda del oido, entre 20 Hz e 20 kHz,

ondas elasticas debajo de esto range son conocidas como **infrasonidos**, mientras el **ultrasonido** es el nombre dado a estas ondas cuando su frecuencia es **superior a aquel de la banda de oido**.

Retículo a cuatro celdas



# Procedimiento de microfracturaciòn en cualquier estructura

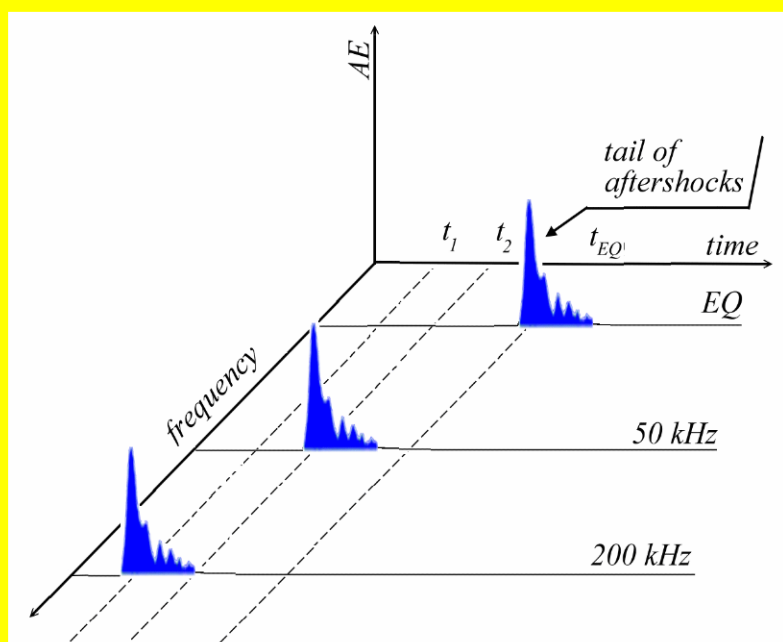
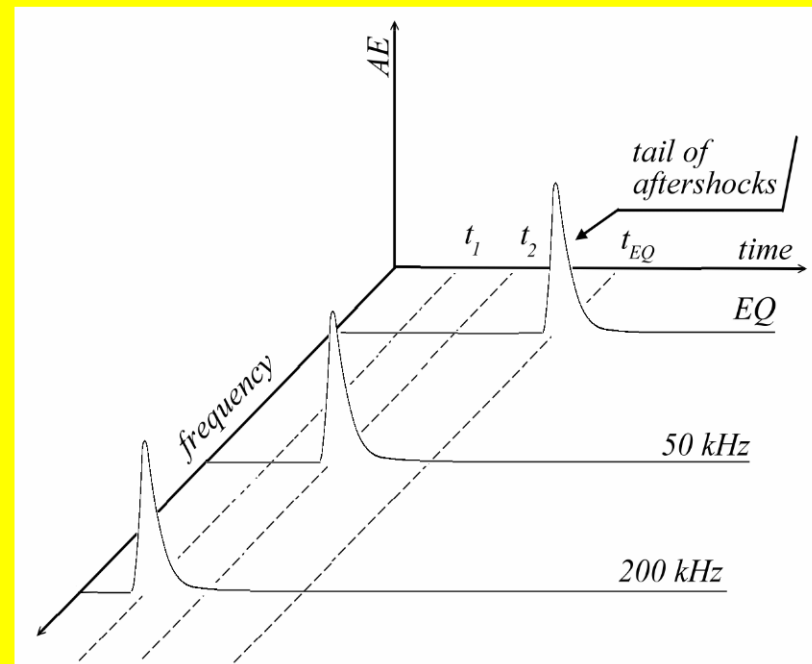
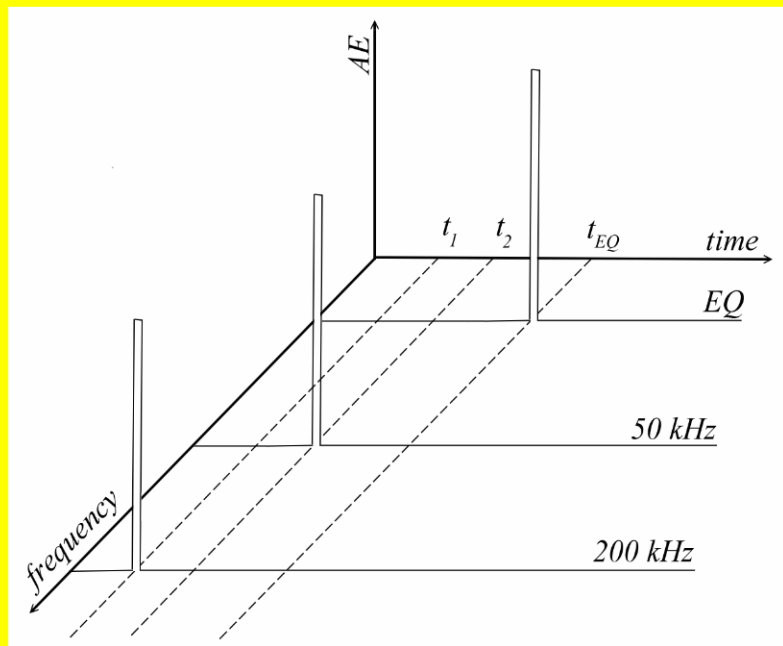


Extremidad de una mini grieta que se propaga en un sólido amorfo covalente. (Simulación dinámica molecular de una fractura)

http://www.hghouston.com/



## The succession of the frequency of the observed AE decreases vs. time

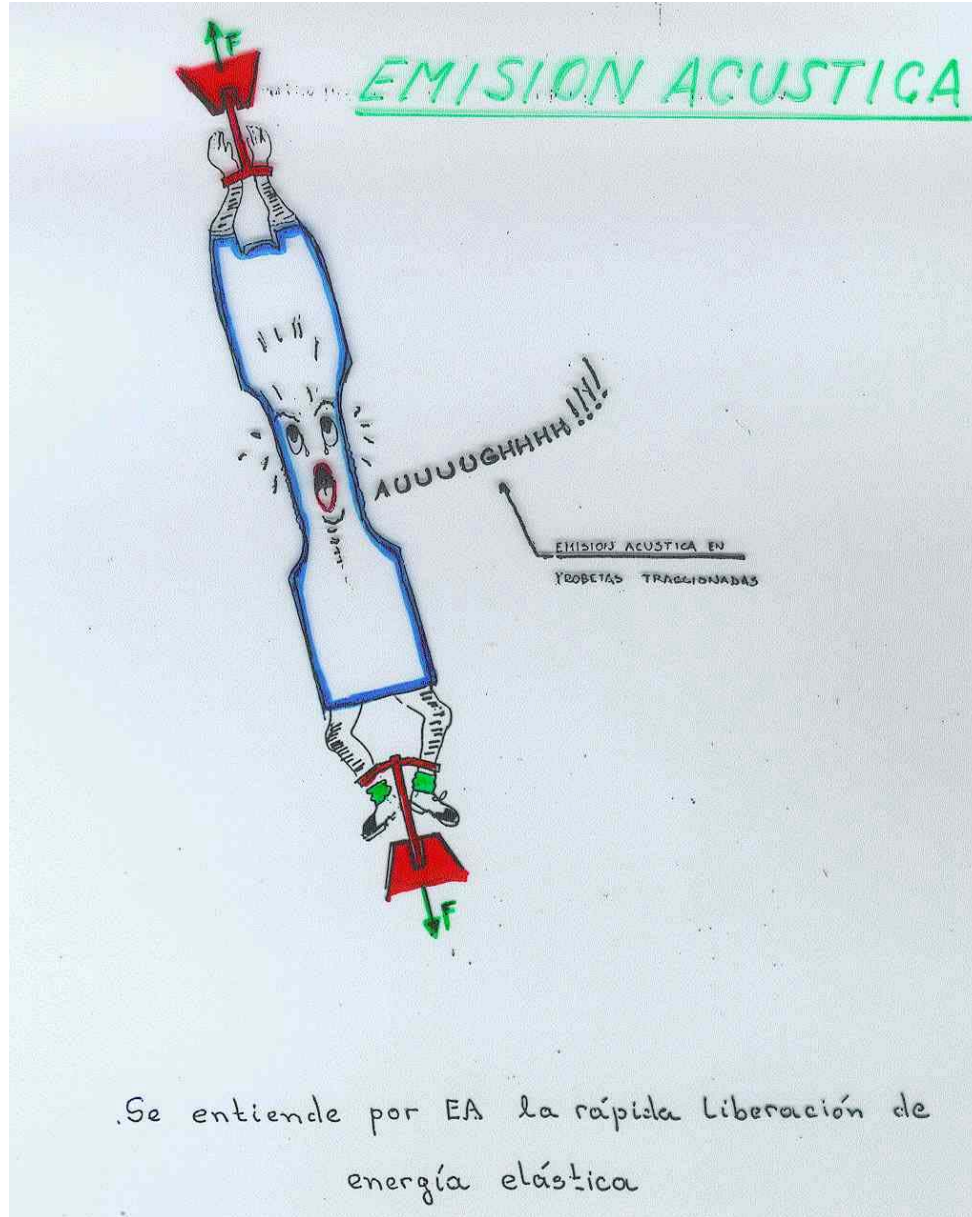


- As a first order approximation, the phenomenon can be depicted in terms of **Dirac  $\delta$ -functions**.
- Upon closer physical consideration, every  $\delta$ -function ought to be substituted by a **lognormal distribution**.
- An eventual externally applied additional effect (such as e.g. tidal modulation) sometimes results into an apparent trend looking like a **damped oscillation**.
- After Paparo and Gregori (2003).

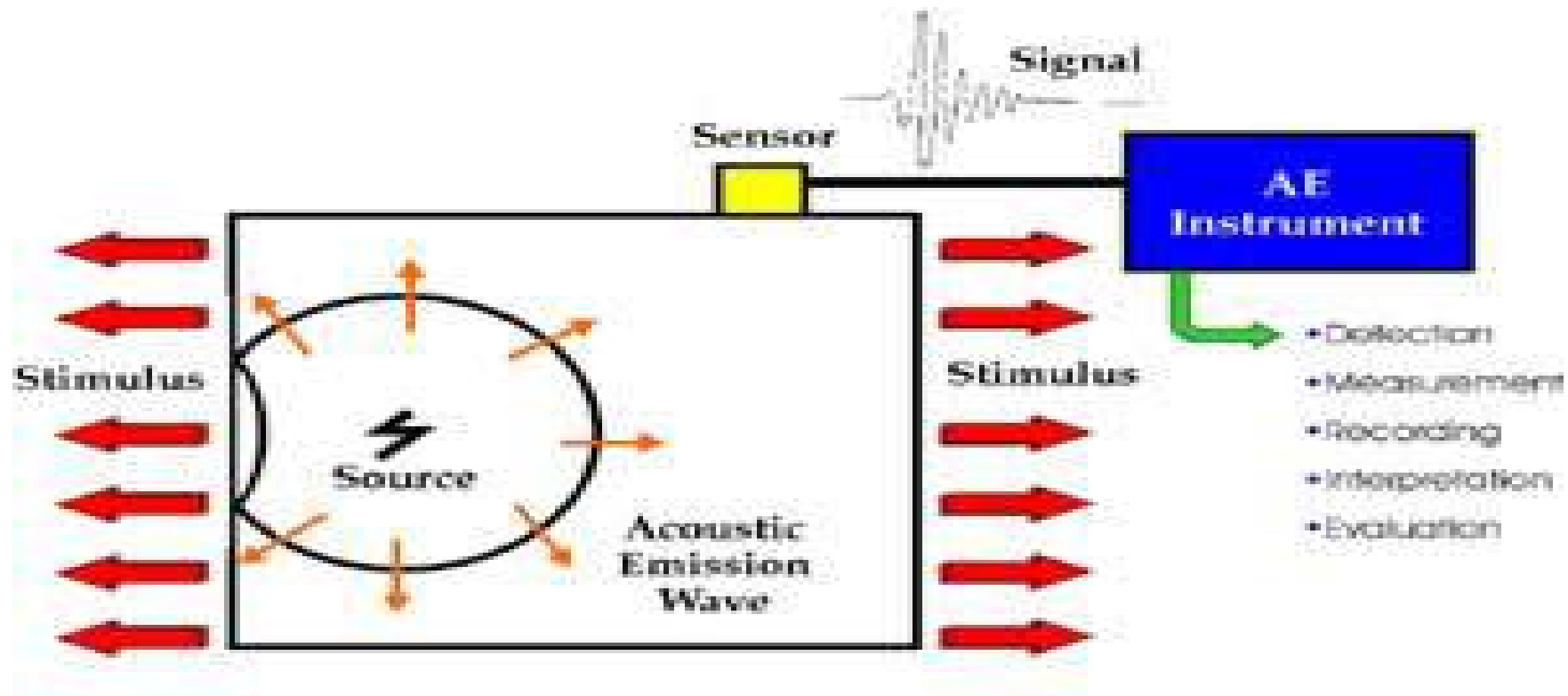
# *La Emision Acustica*

*es*

*un proceso fisico unido a la generacion de ondas elasticas debido* a la rapida liberación de energia almacenada desde una o mas fuentes localizadas dentro de un material o una estructura.

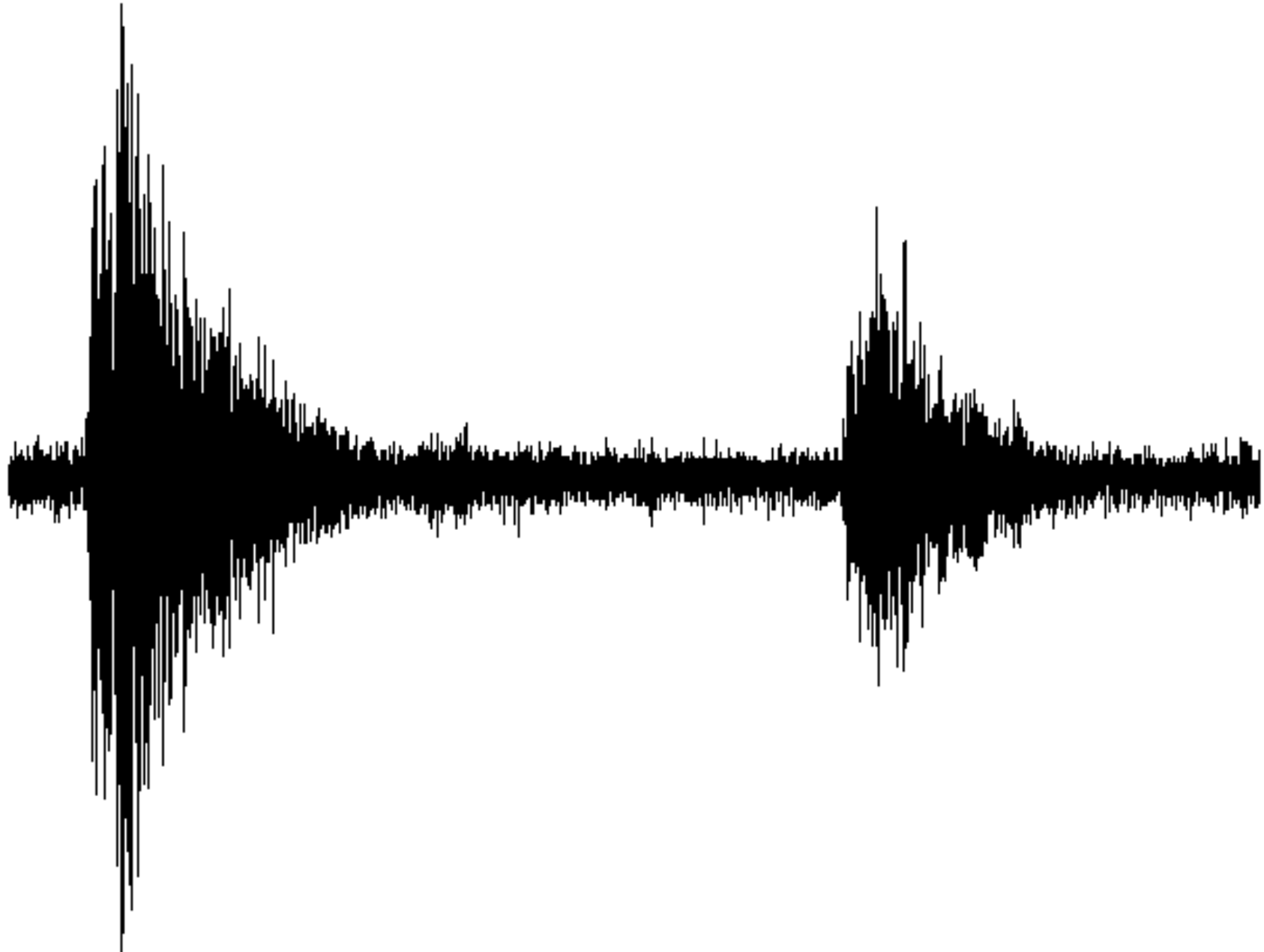


# Acoustic Emission (AE) Process

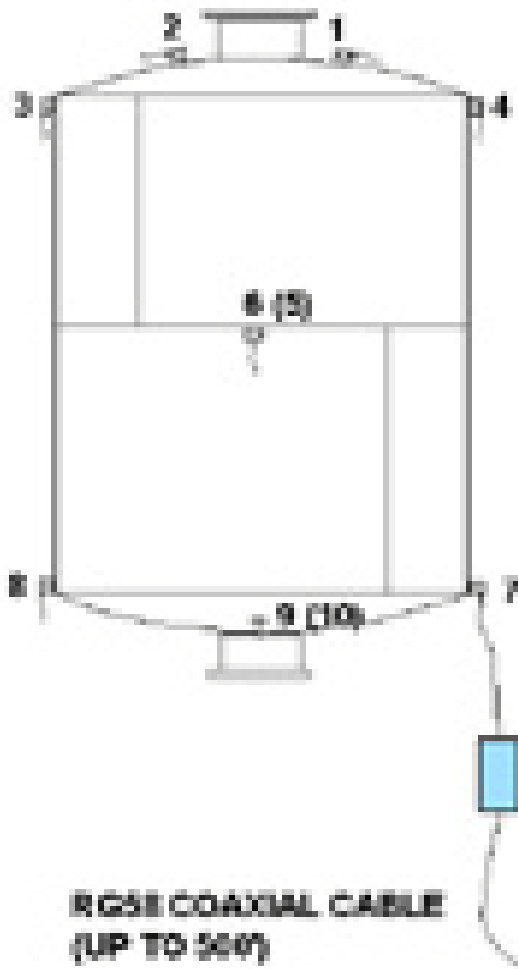


*Acoustic Emissions are transient elastic waves generated by the rapid release of energy from localized sources within a material.*

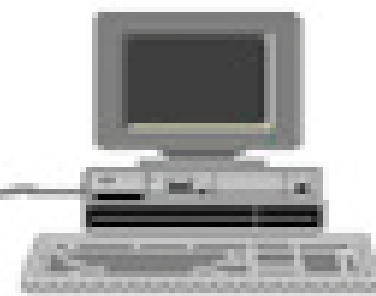
(Excerpted from ASTM E640-87)

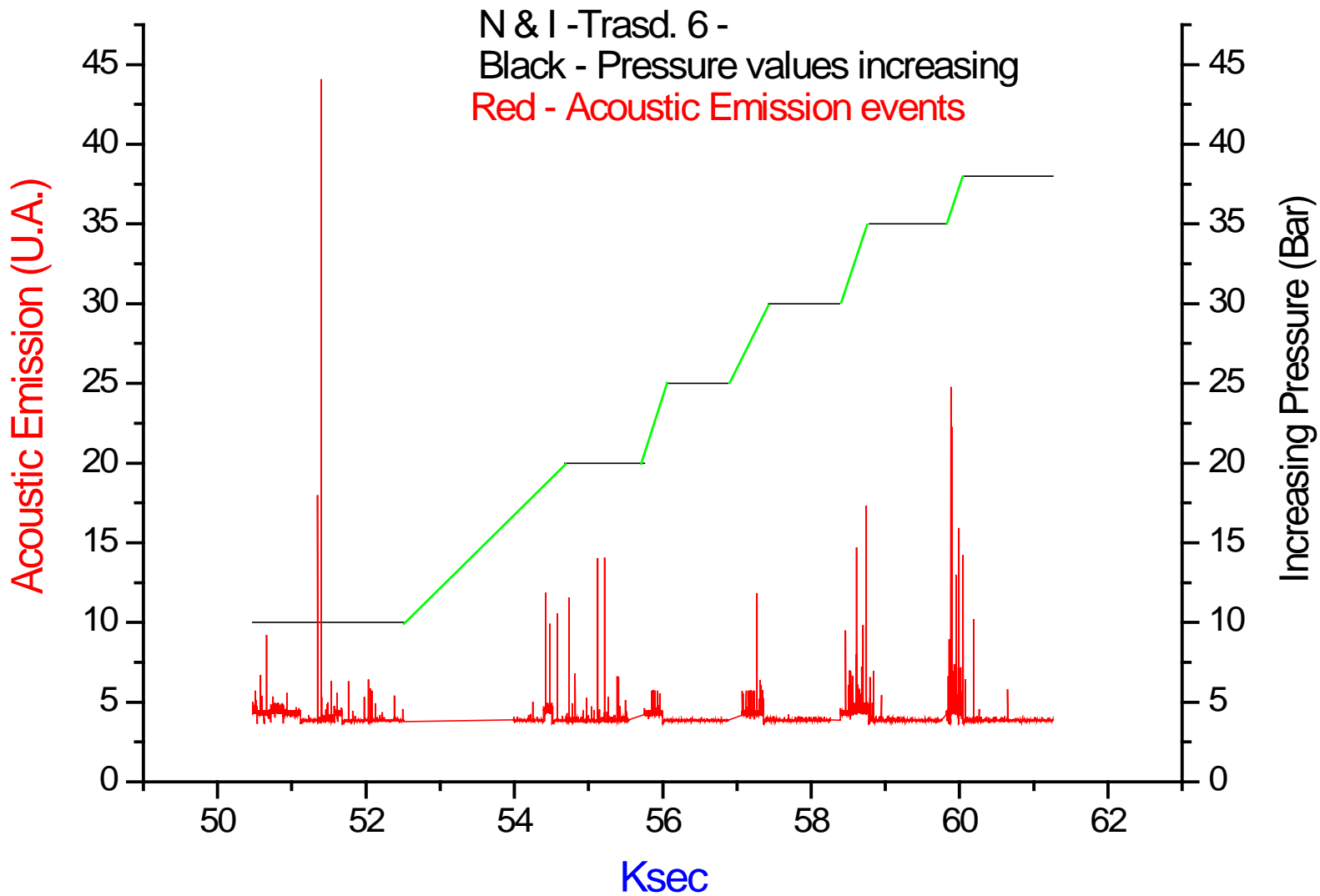


# AE SIGNAL DETECTION

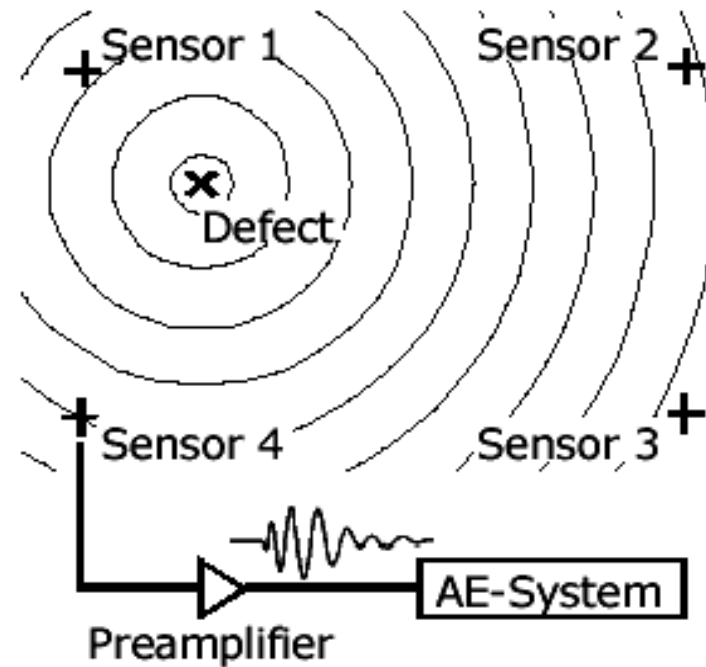
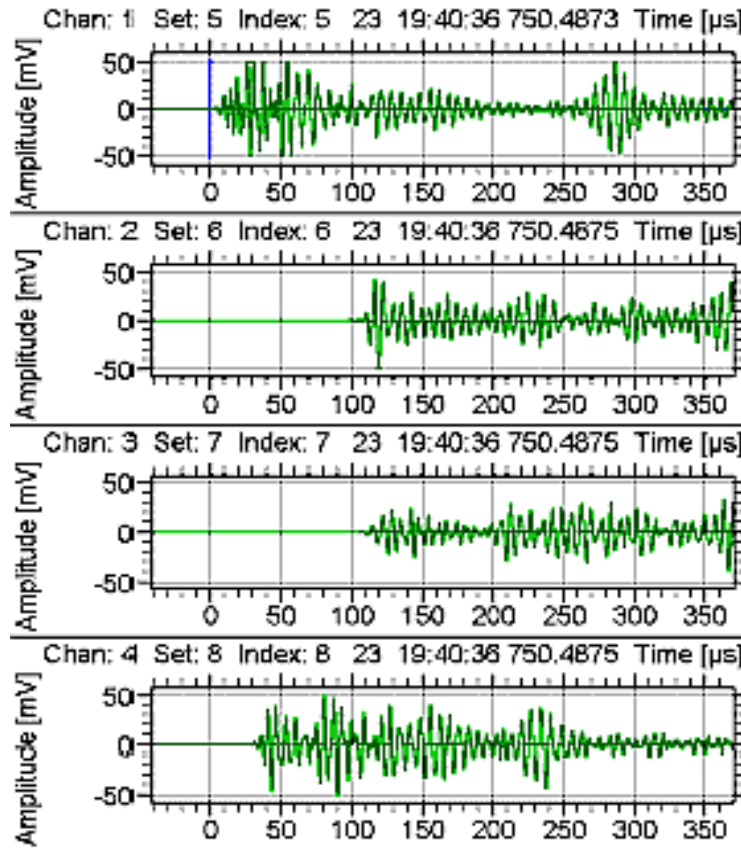


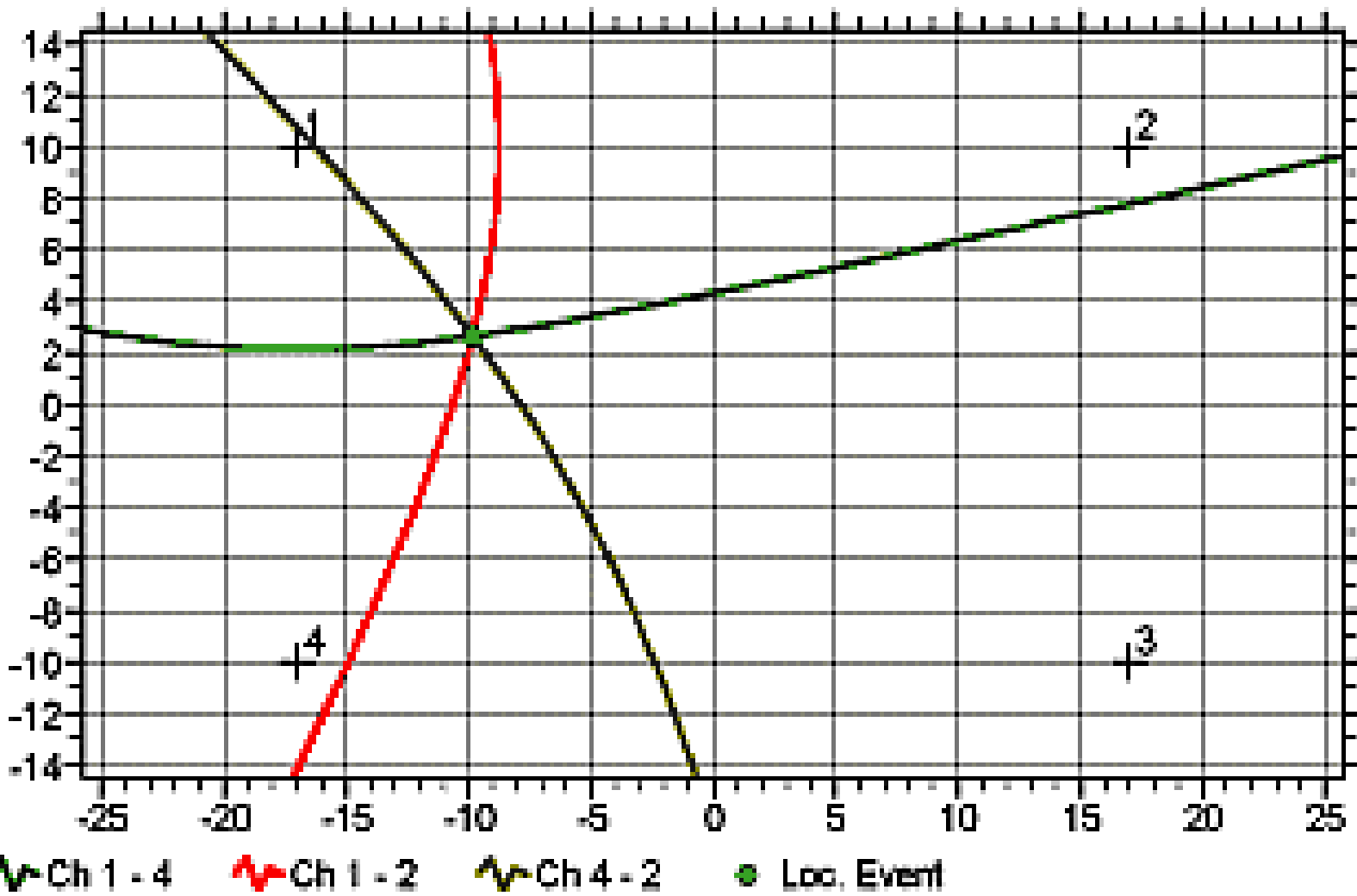
- The sensing element is a resonant, piezoelectric crystal. Typically 150kHz; 300-600kHz sometimes used in high noise environments.
- Maximum temperature for integral sensors is about 180°F; 300°F for non-integral types.
- Preamplifier gain is 40dB (into 50Ω).
- Transient waveforms are detected and key attributes measured by individual channels.
- Signal attribute sets are time-stamped and sent to the PC for storage and display.

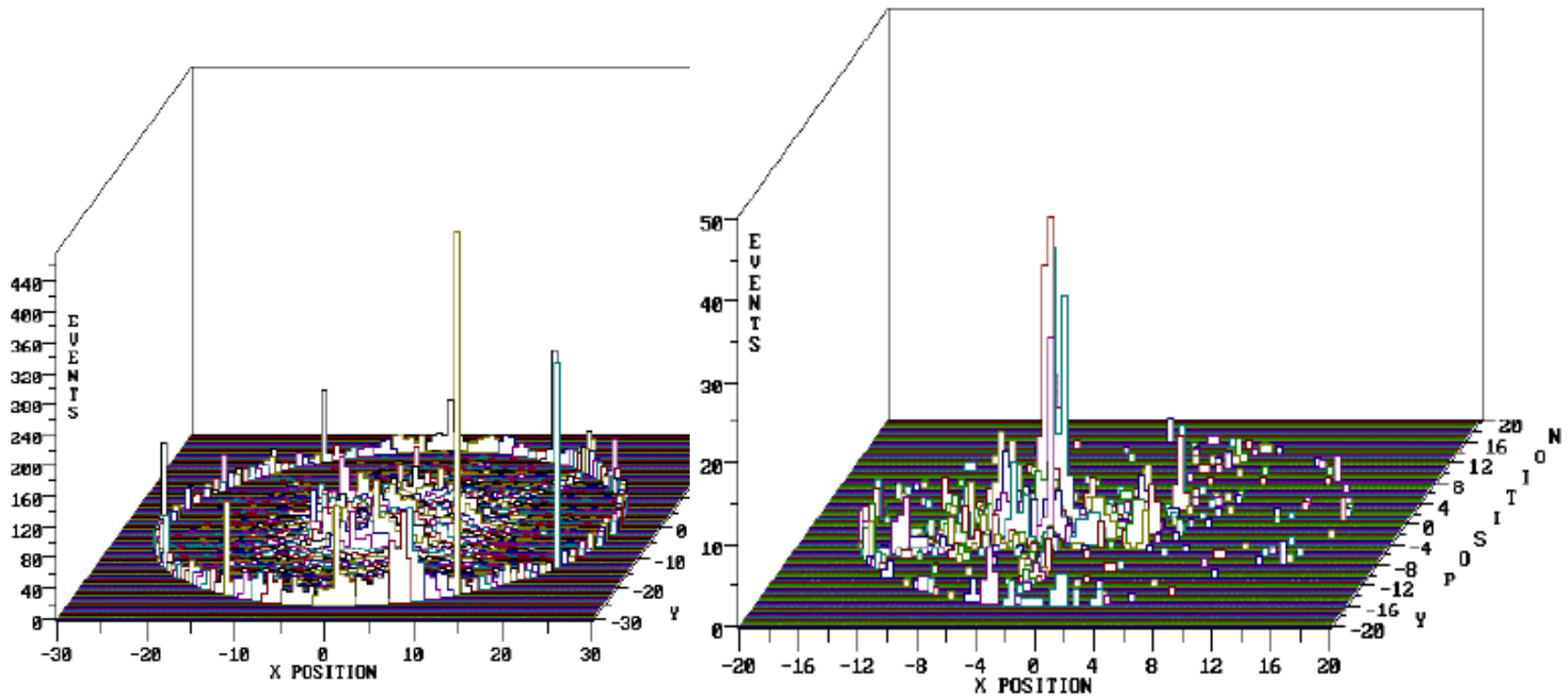




# *Localizacion de Fuentes de Emisiòn Acustica*







3D LOCATION FOR "ALL DATA"

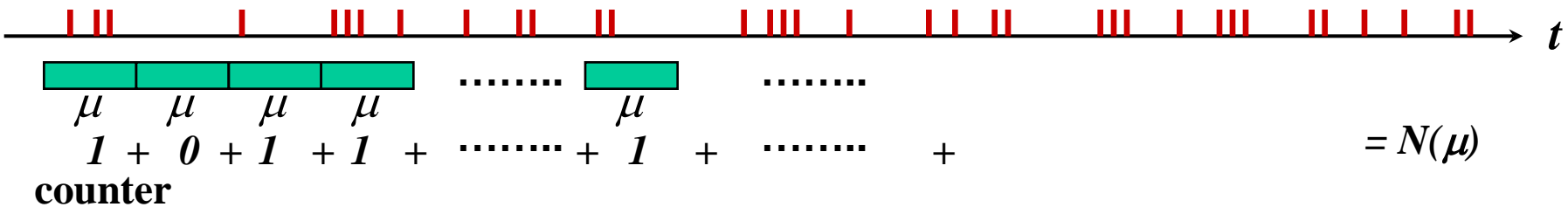
## El “box counting method” (mètodo de compudo con cajas)

Si tenemos en cuenta una serie temporal de acontecimientos puntiformes (o sea una serie de acontesimientos SÌ o NO, donde un acontesimiento SÌ ha lugar cuando un algun paràmetro asume un valor con mas de una algun umbral prefijada).

- Se conte el numero  $N(L)$  de acontesimientos SÌ observados durante un algun intervalo de tiempo total  $L$ .
- Se define una ventana temporal arbitraria  $\mu$  tal que el intervalo de tiempo  $L$  de cual sobre venga recubierto desde una sucesion de ventanas  $\mu$  contiguas y no superponientes.
- Se establedezca que solo un acontesimientos ocurre en cada ventana  $\mu$  cuando uno o mas acontesimientos caen dentro tal ventana.
- Se recuento el numero  $N(\mu)$  total de acontesimientos.

# Fractal dimensions $D_t$ & *box counting method*

events



Se hacen el grafico  $[\log N(\mu)]$  vs.  $[\log \mu]$  (diagramma di Richardson) y verificamos si el grafico haya un desarollo linear en un oportuno intervalo  $\mu_1 < \mu < \mu_2$ .

llamamos  $H$  el coeficiente angolar de tal segmento linear. Es uso llamar  $D = -H$  “dimension fractal” (por es. Turcotte, 1992). Se demostra que una serie temporal de acontesimientos puntiforme uniformemente o casualmente distribuida en el tiempo da siempre  $D = 1$ .

Tambien cuando suceda que una cualquiera ley (conocida o no conocida) influencia la secuencia temporal de los acontecimientos de modo de hacerla independientemente de como desviar desde la mera casualidad, debe siempre ser en cada caso  $D < 1$ .

Por tanto cuando la naciente primaria AE tiene una distribuciòn spacial 3D, la serie AE es casual y  $D = 1$ .

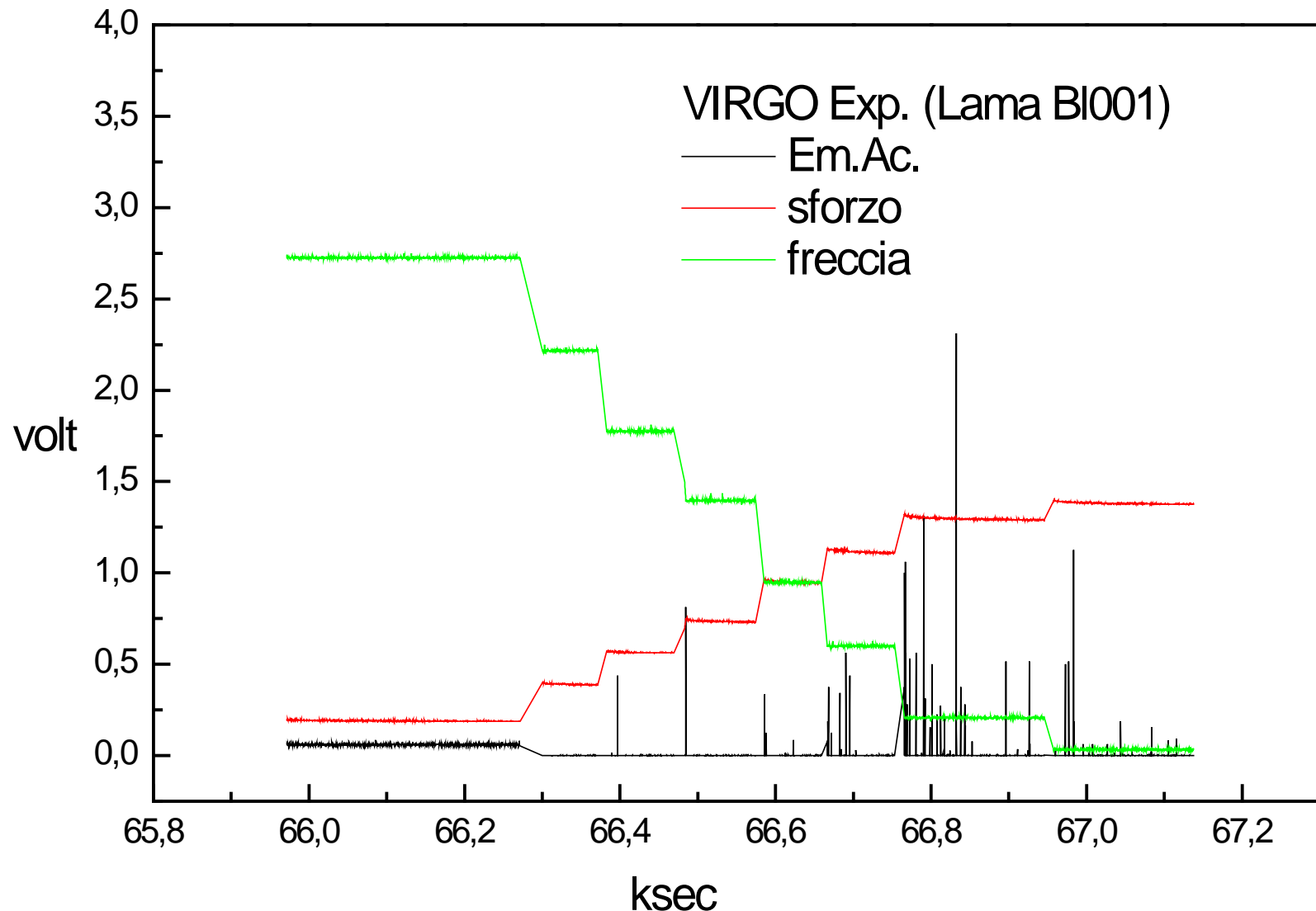
Cuando es 2D debe y puede ser solo  $D < 1$ .

En acuerdo a Turcotte [eq. (2.1) and (7.12)], un fractal ha definido cada vez que el numero  $N_n$  de objetos, o fragmentos que componen un sistema asociado con una dimenció linear caracteristica  $r_n$  es:

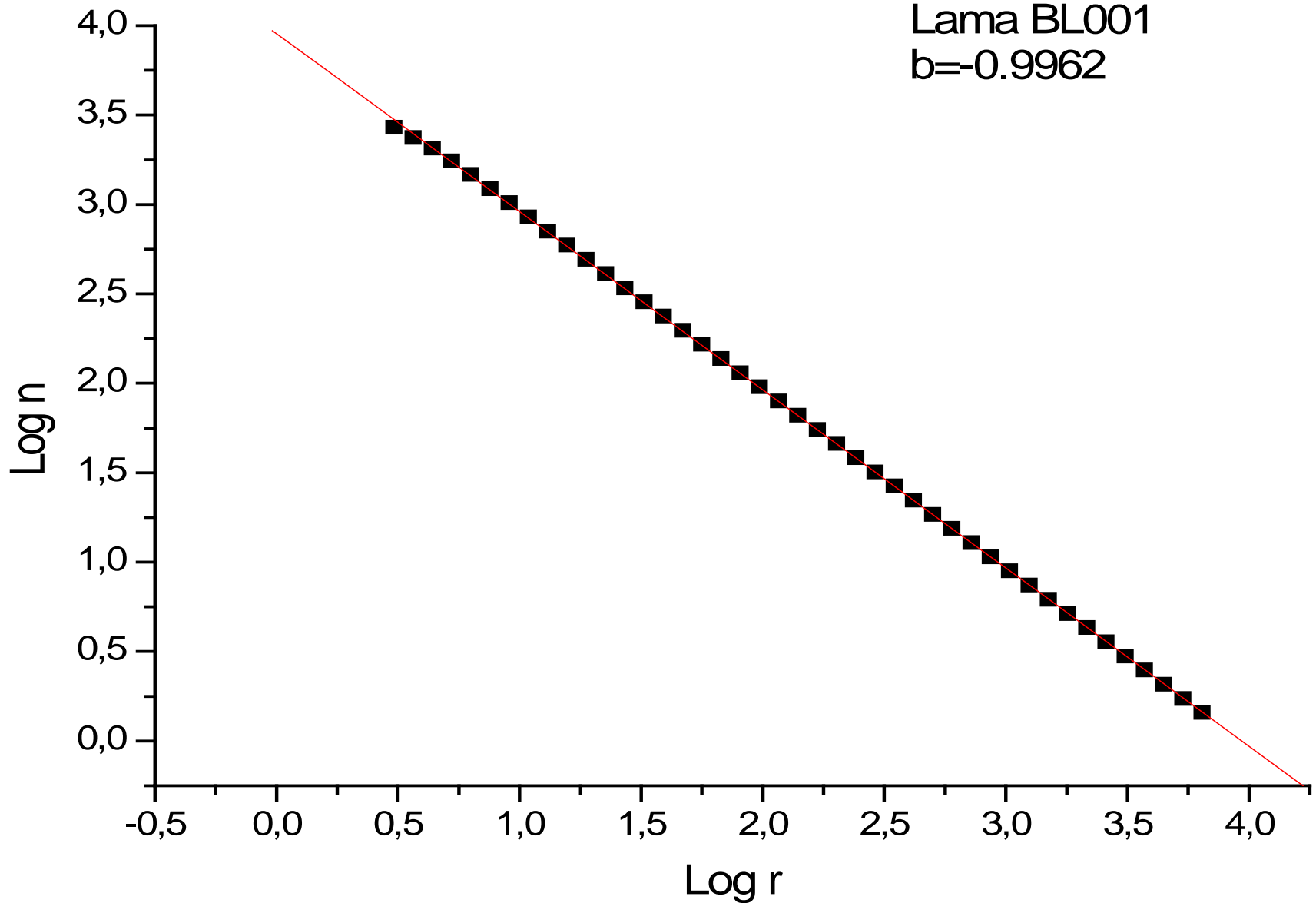
$$N_n = \frac{C}{r_n^D} \quad r_n = \frac{L}{n}$$

Donde  $C$  es una constante,  **$D$  es la dimenció fractal**, y  $L$  es la amplitud totale del database donde he aplicado el box counting method (BCM).

# Chapa de Maraging Bl001



**VIRGO**  
Lama BL001  
 $b=-0.9962$



# **Chapas de Maraging sumisas a una sola deformaciòn**

<b>Tipo de Chapa</b>	<b>Dimension Fractal</b>
B1001	-0.99620
B1002	-0.92738
B1003	-0.99244
B1005	-0.80207
B1008	-0.99020
C-10	-0.99423

# **Hojas sometidas a mas deformaciònes**

**Tipo Hoja**

**Dimension Fractale**

**2 BL001**

**-0.8214**

**2 BL005**

**-0.72360**

**3 BL008**

**-0.64627**

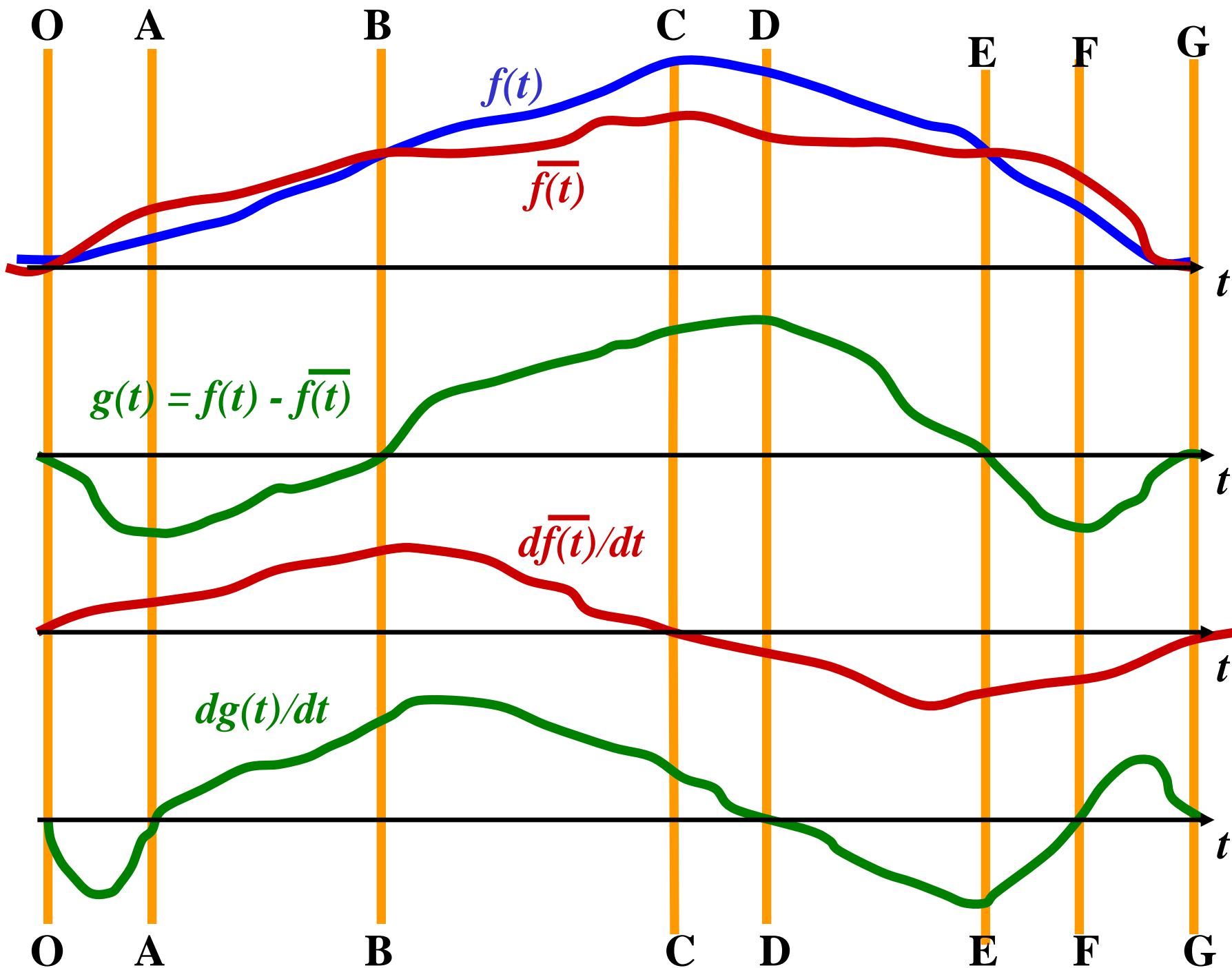
**C 10**

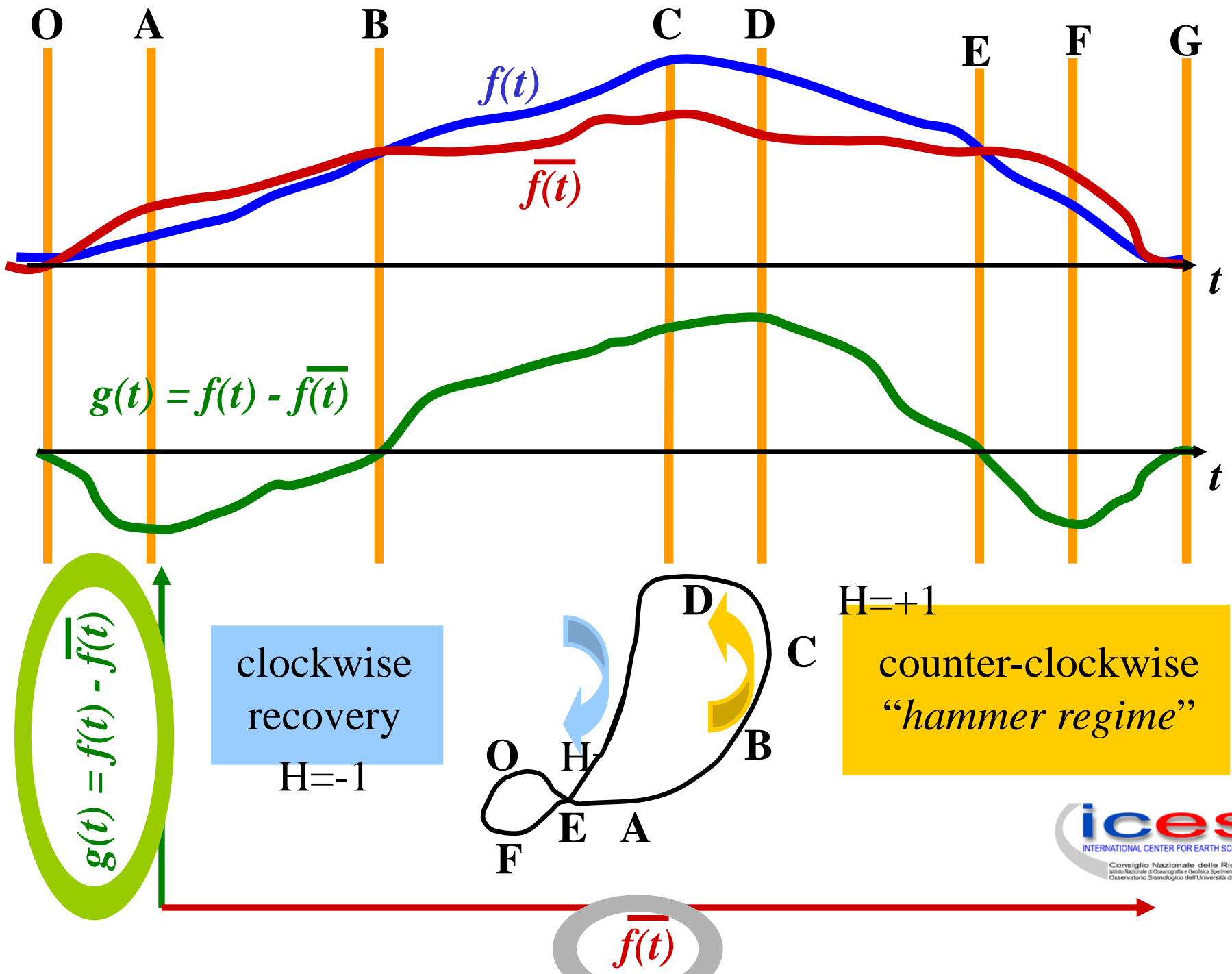
**-0.67822**

# Efecto Martillo

## cosa es el efecto martillo?

- ❑ Data un funzione  $f(t)$
- ❑ Ne considero una media mobile pesata  $\bar{f(t)}$
- ❑ Ne calcolo il residuo  $g(t)$  (come differenza fra le due)
- ❑ Ne faccio diverse rappresentazioni grafiche, in diagrammi Cartesiani ( $x, y$ ) fra queste quantità e/o le loro derivate temporali
- ❑ Infine faccio vedere che
  - ❑ graficando la media mobile in ascisse e il residuo  $g(t)$  in ordinata
  - ❑ posso riconoscere se il sistema è soggetto ad un “carico” o è in fase di “recupero”
  - ❑ La fase di “carico” corrisponde alla parte crescente della lognormale
  - ❑ La parte di “recupero” corrisponde alla coda della lognormale





# *Aplicaciones Geofisicas: Microsismica*



Tres diferentes explicaciones se pueden dar para justificar las grabaciones de *AE* realizadas sobre estructuras geofisicas:

**La primera es la guia de onda** constituida por filones compactos. Alto gradiente espacial dipendiente de la esistencia de tal guia de onda y de la ubicación del sensor sobre de ella.

**La segunda se puede definir de teleconexion**, presuponiendo la esistencia de una onda portante di bajaa frequencia (*LF*) que estimula localmente le *AE* de alta frequencia (*HF*) liberadas por cuerpos locales compactos.

**La tercera posibilidad** (mas verosimil) presupone que algun *grande volumen tectonico* sea sometido a **deformación**, esto comporta una variacion en la distribucion de los esfuerzos en cada cuerpo compacto en scala local. Este cuerpo, mientras readapta su propria estatica, libera *AE*.

# Managing floods

*countermeasures*

Flood plane

*phenomenon*

Hydrologic  
regime

Spates

"catastrophe"  
Floods

*instrument*

Hydrometer

Hydrometer

Measuring  
water level  
in flooded areas

# Managing earthquakes and volcanic eruptions

*precursor*

Monitoring incipient crises, several months before "catastrophes"

*phenomenon*

Micro-deformations

Deformations

"catastrophe"

Seismic activity Eruption

*instrument*

Acoustic Emission

Tiltmeters  
Accelero-meters  
Strain-meters

Seismo-meters Lava flow or explosion

# Earthquakes and tsunamis (since AD 1500)

maximum recorded  
magnitude (Mercalli scale)



Epicentres ( $M$ )

- \*  $5^{\circ}$  -  $5.5^{\circ}$
- $5.5^{\circ}$  -  $6^{\circ}$
- $6^{\circ}$  -  $6.5^{\circ}$
- $> 6.5^{\circ}$



## AE Recording in the field

(Orchi,  
Central  
Italy)



## AE recording in the field

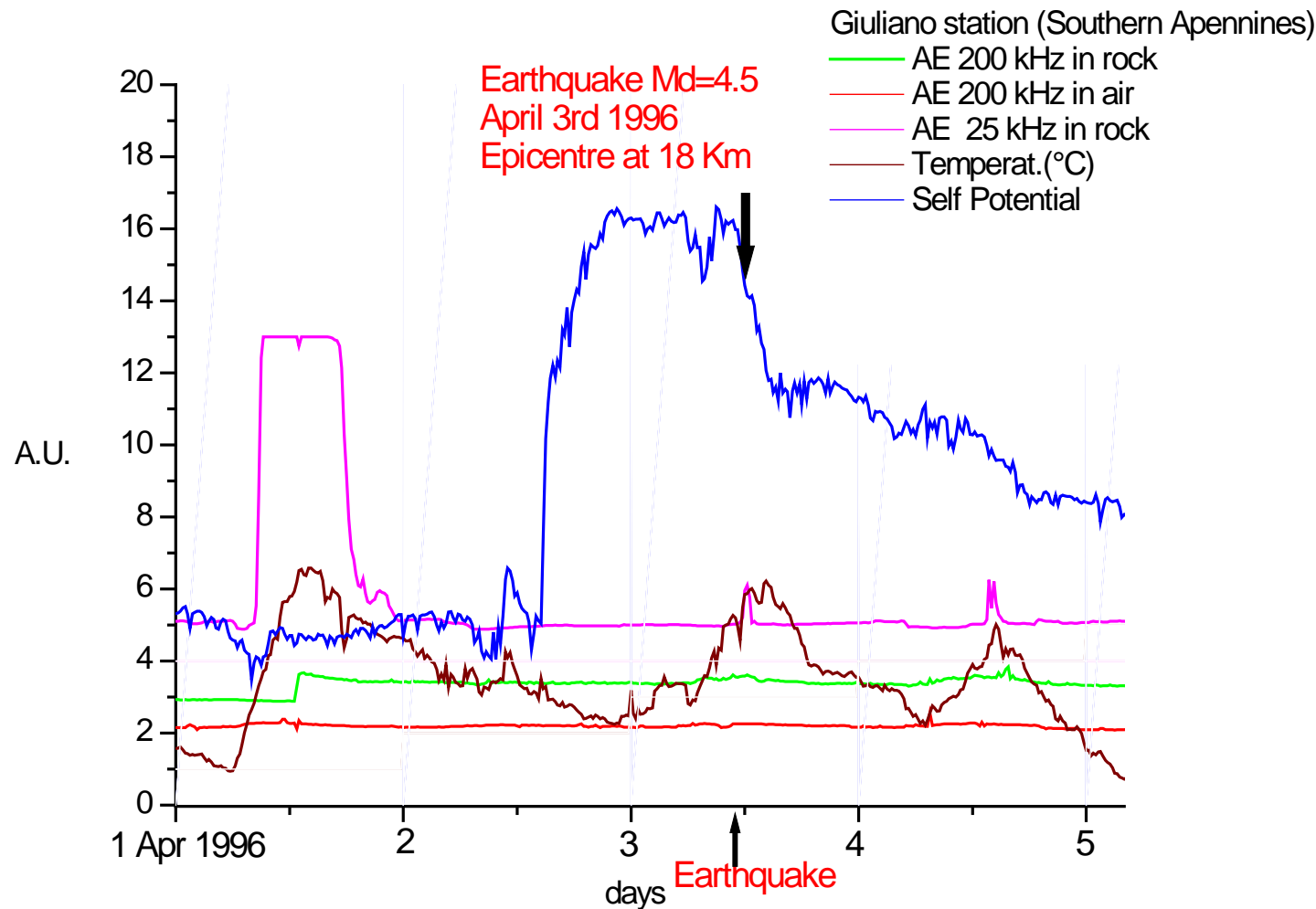
(Orchi,  
Central  
Italy)



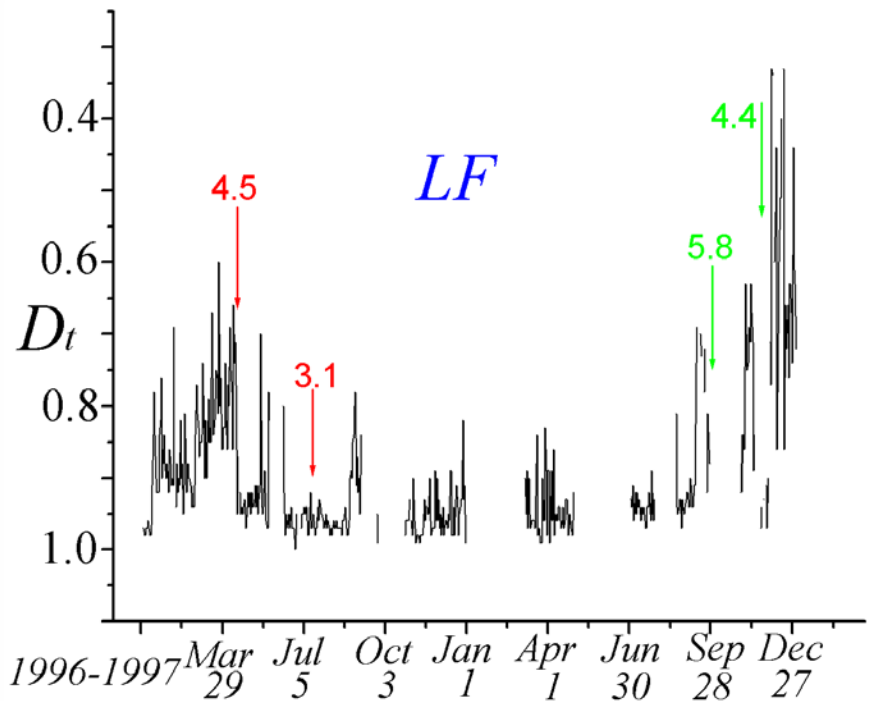
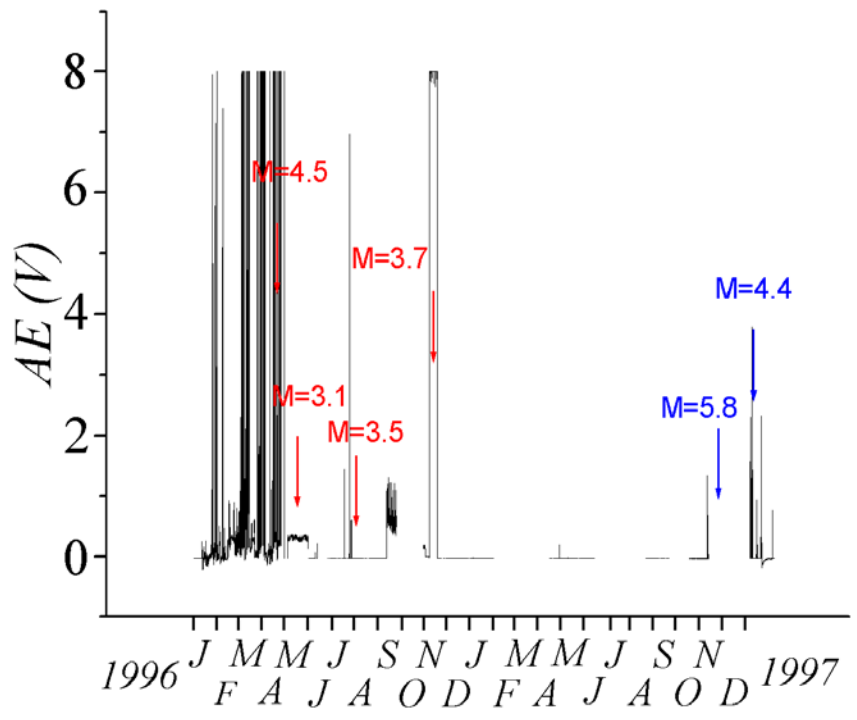
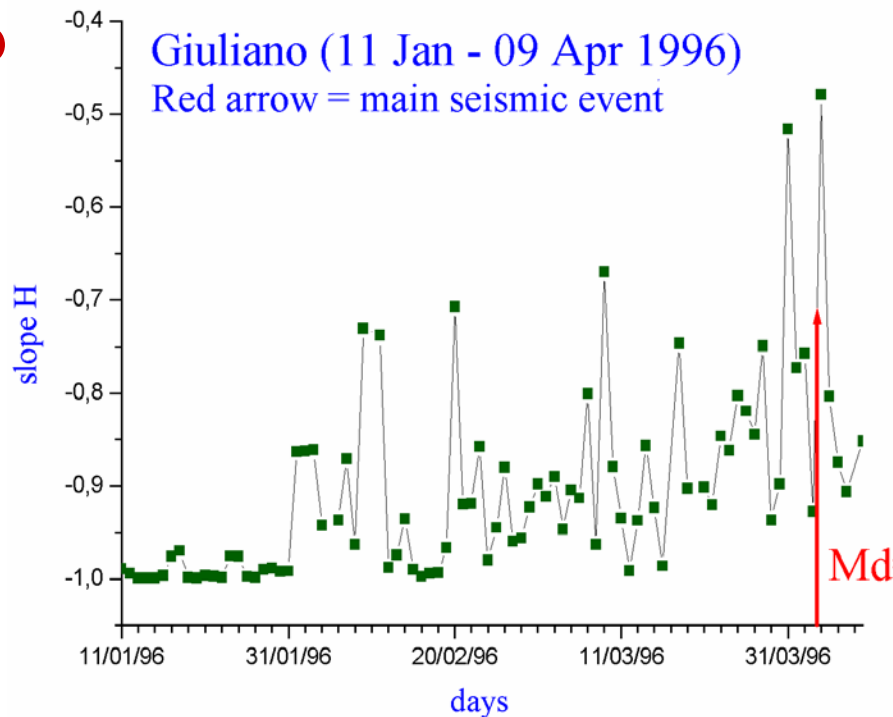
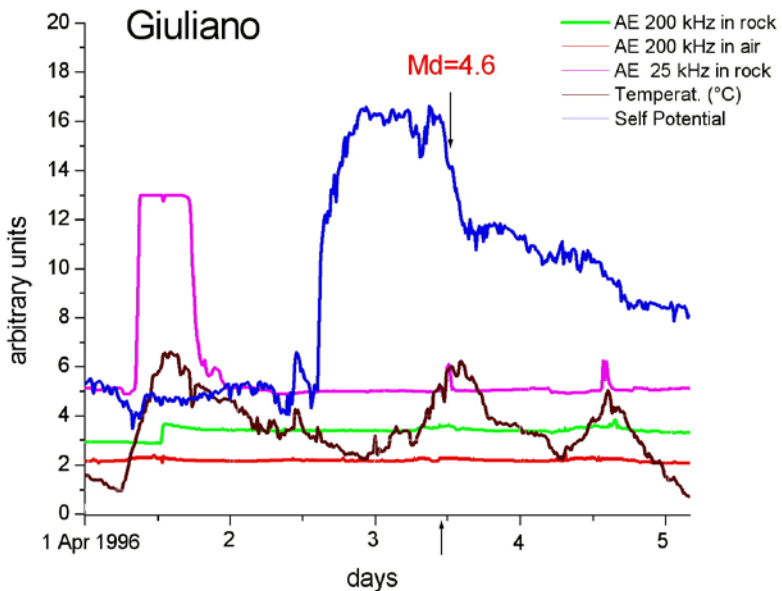
# Other Investigating methods electric resistivity

Simultaneous measurements of changes of electric resistivity and of *AE* release, and assessing how observations are correlated with the ageing of the sample

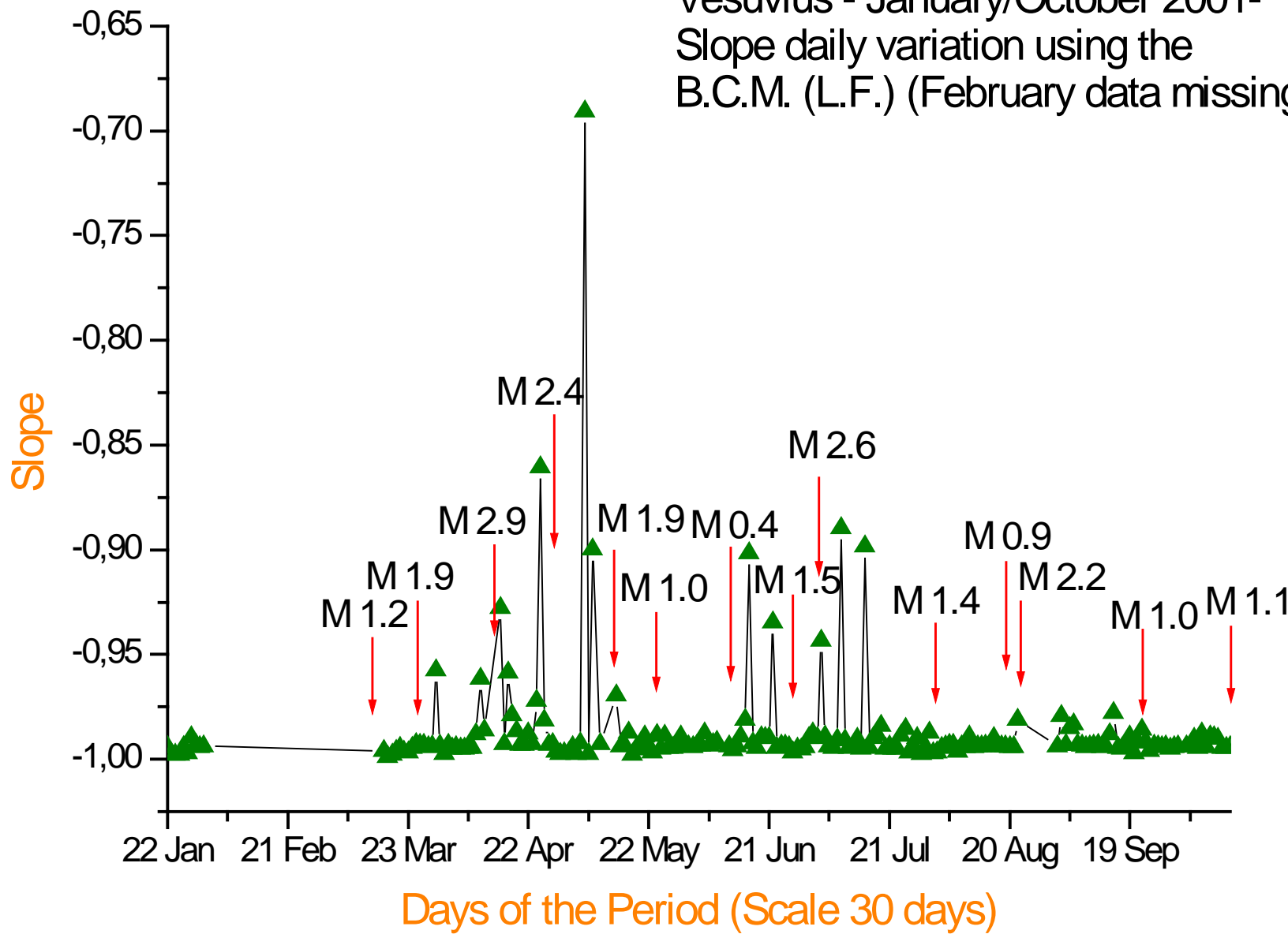
# Giuliano - A multi-parametric local precursor



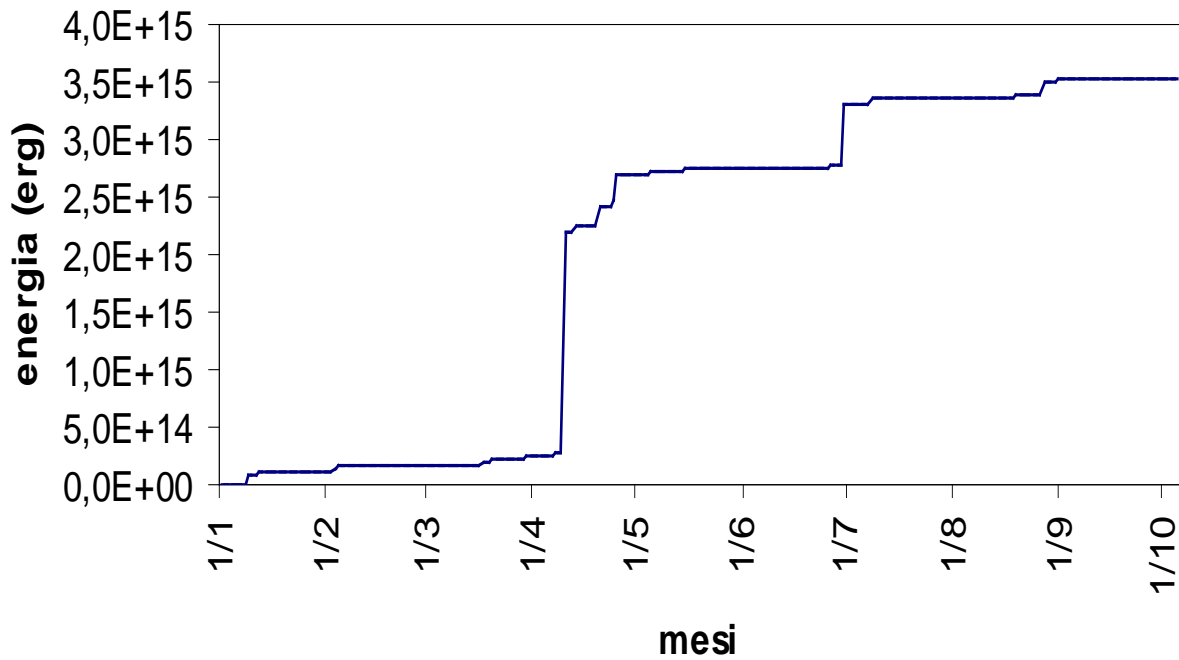
# Giuliano



Vesuvius - January/October 2001-  
Slope daily variation using the  
B.C.M. (L.F.) (February data missing)



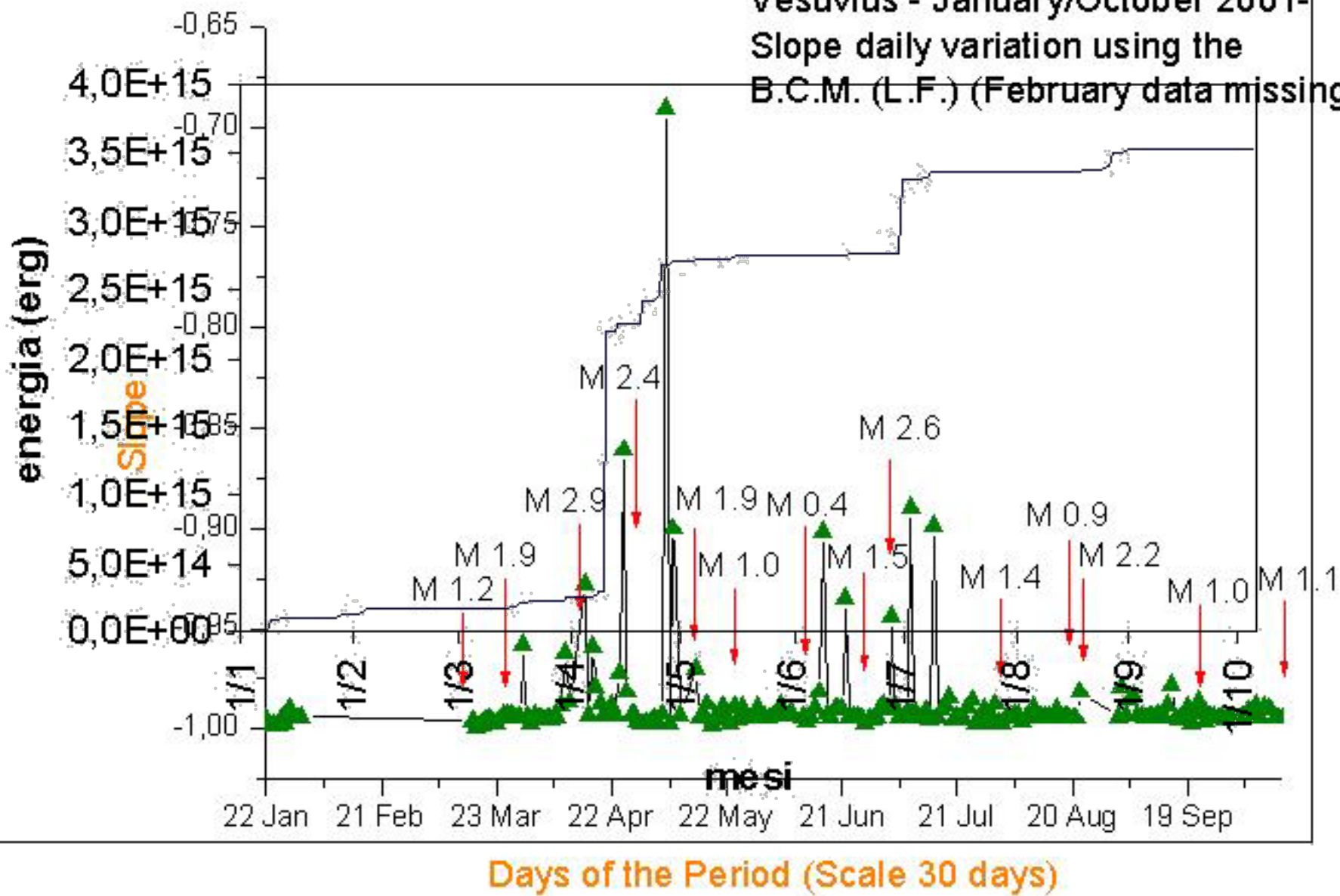
## Energia Cumulativa Vesuvio

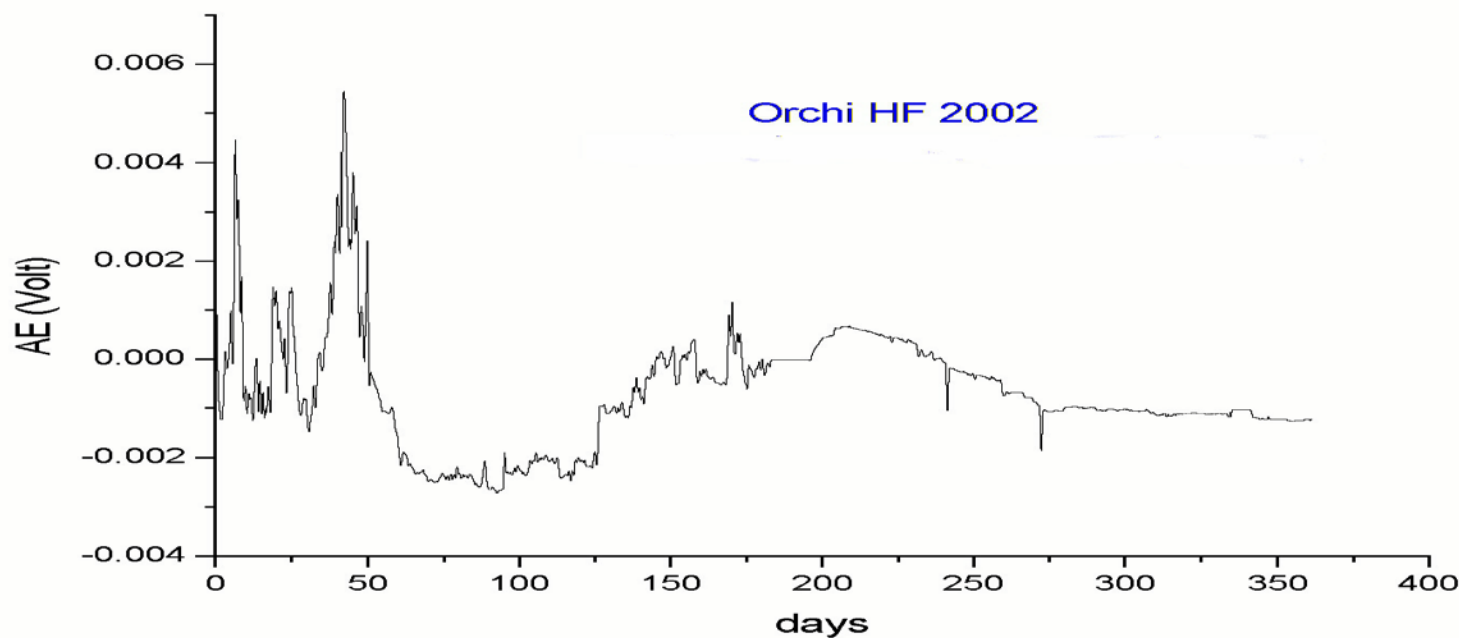
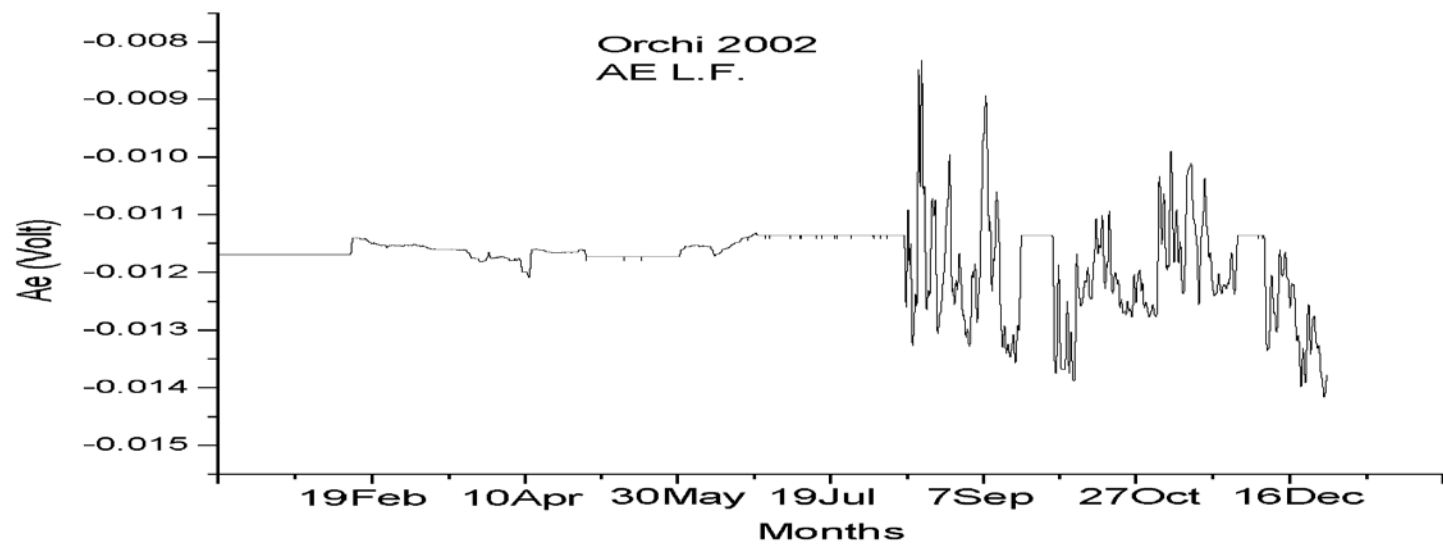


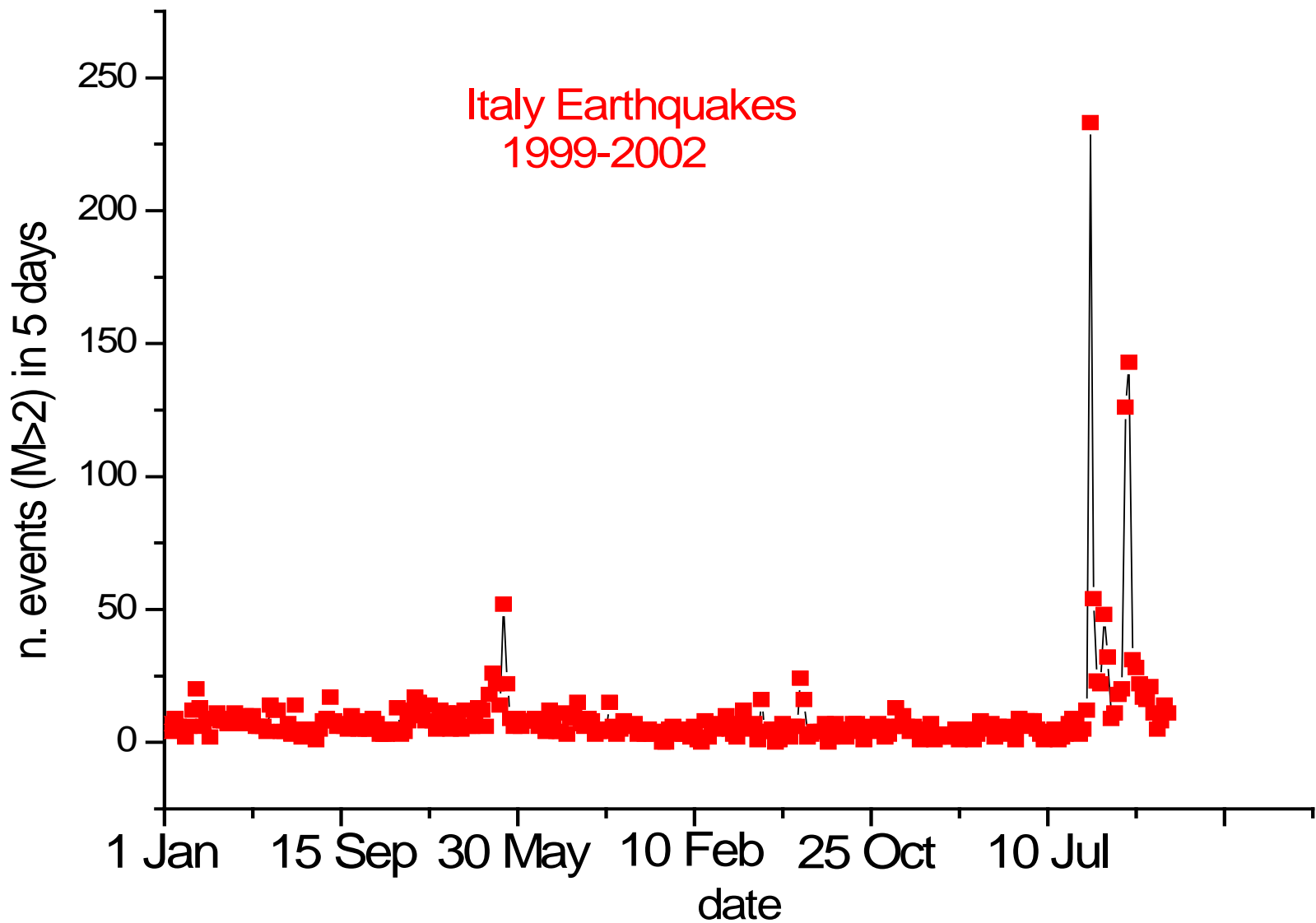
# Energia Cumulativa Vesuvio

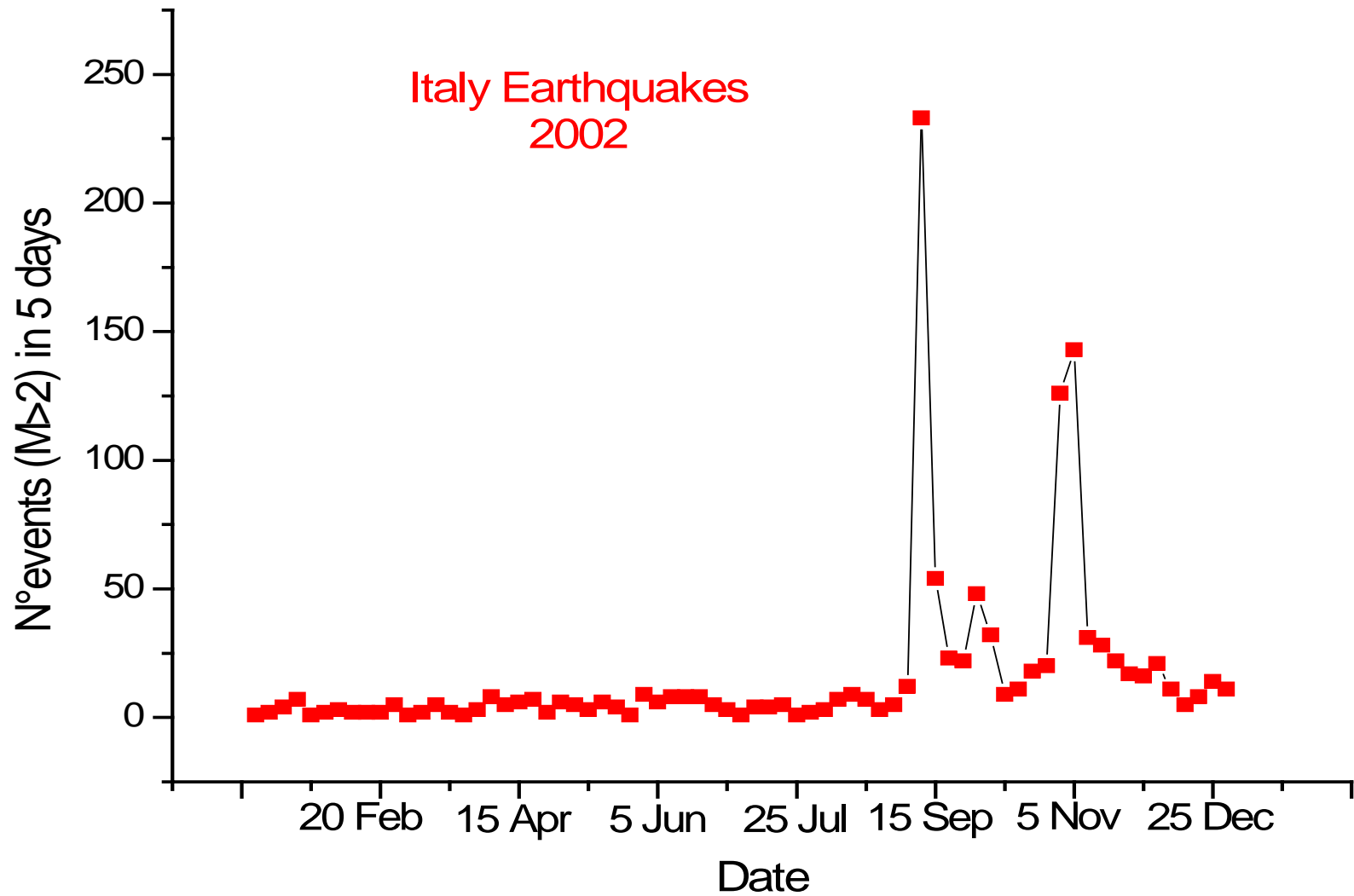
2001

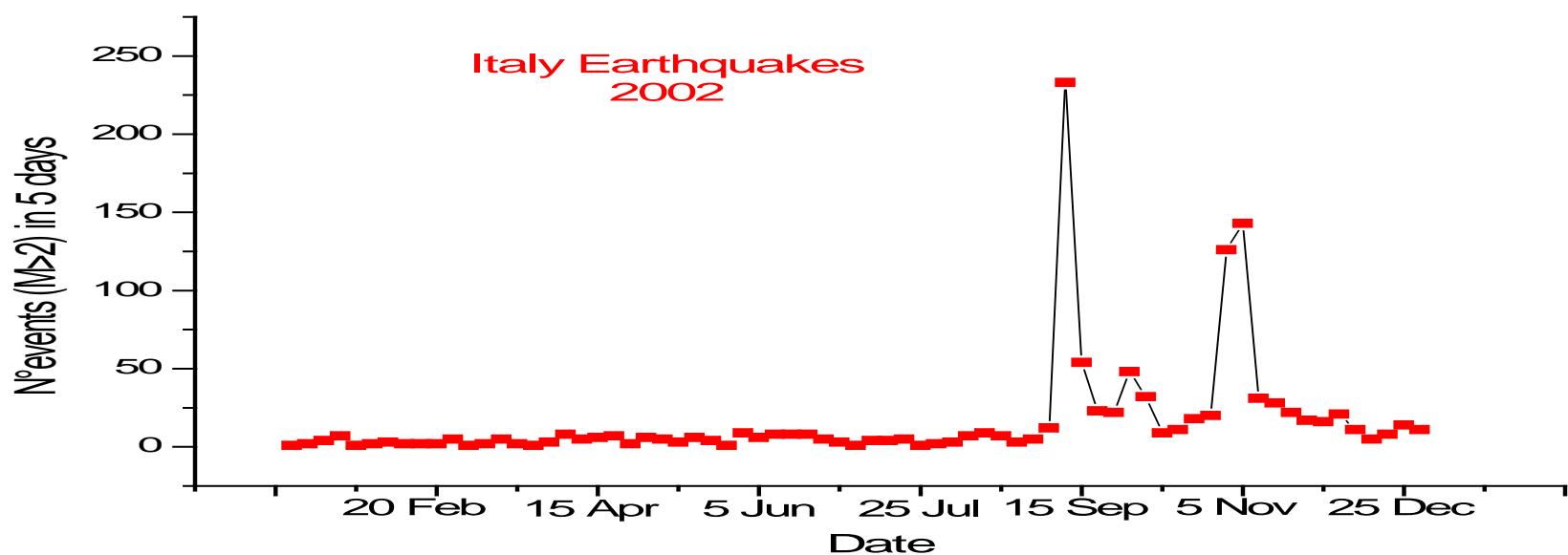
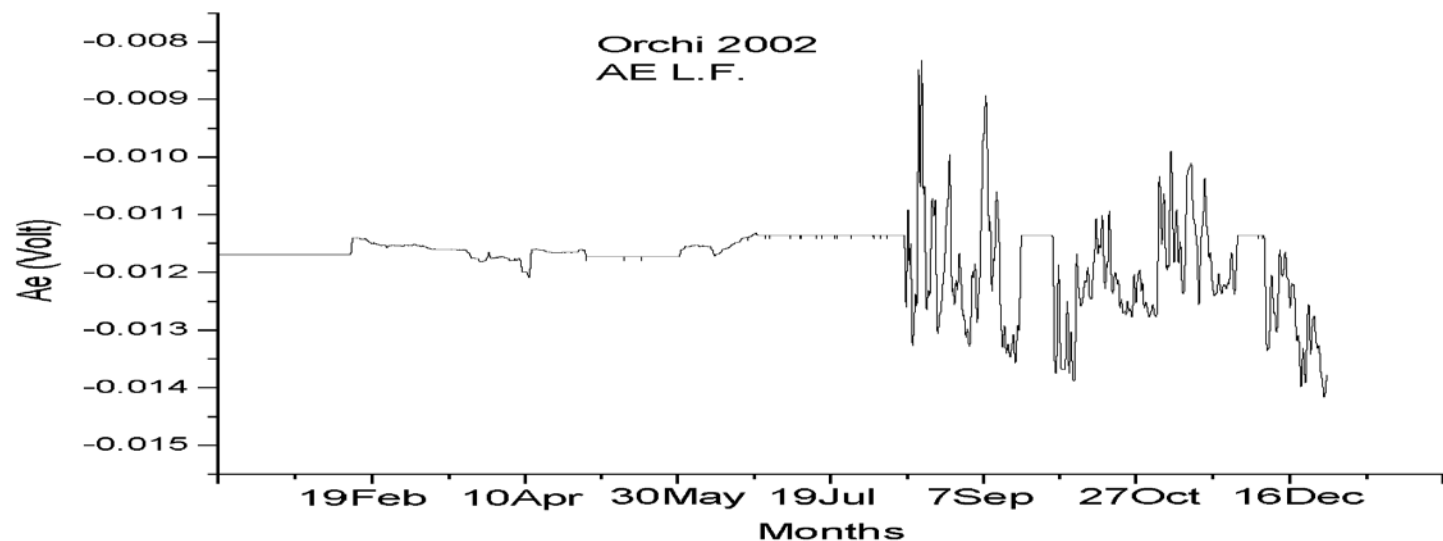
Vesuvius - January/October 2001-  
Slope daily variation using the  
B.C.M. (L.F.) (February data missing)

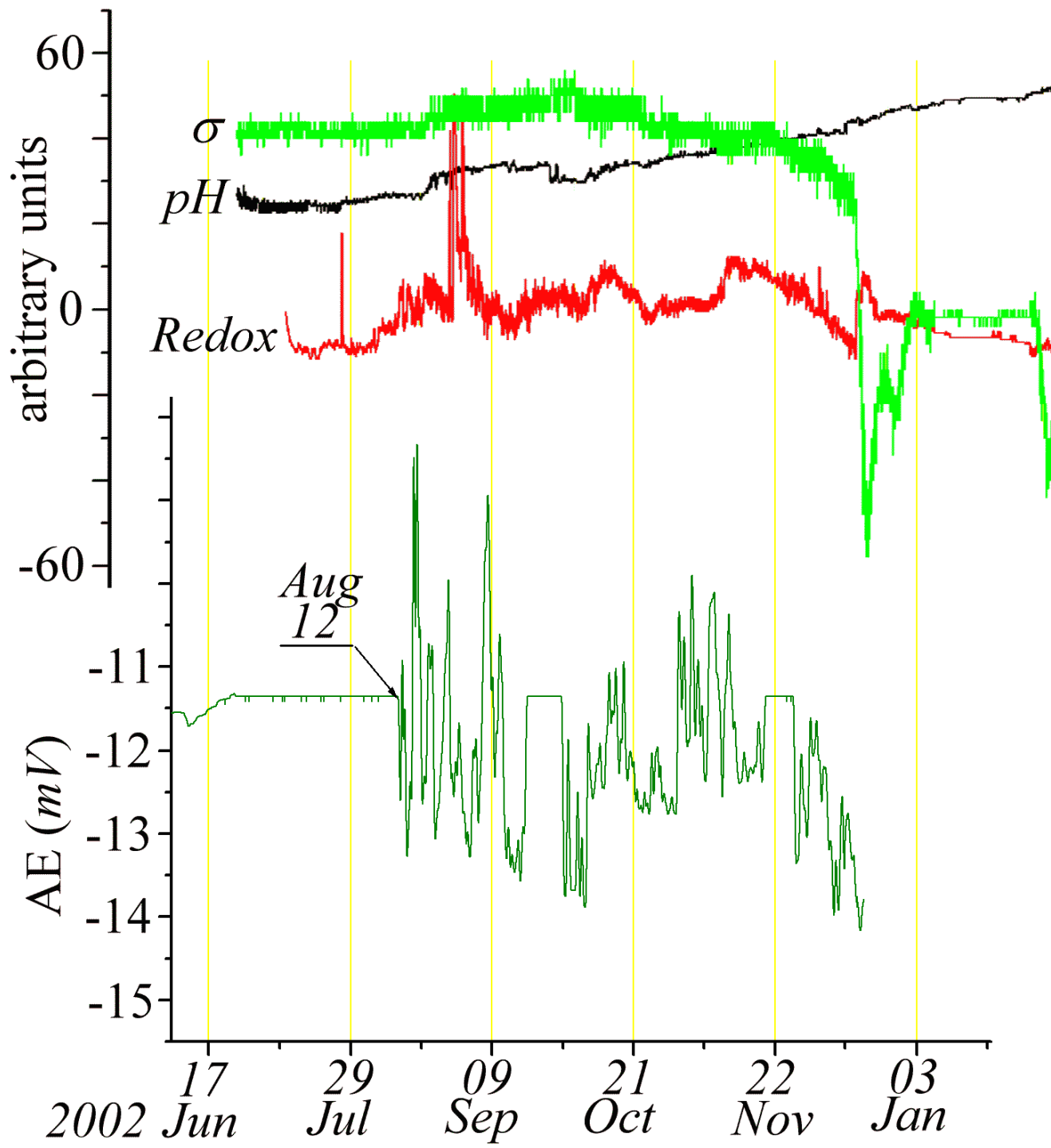










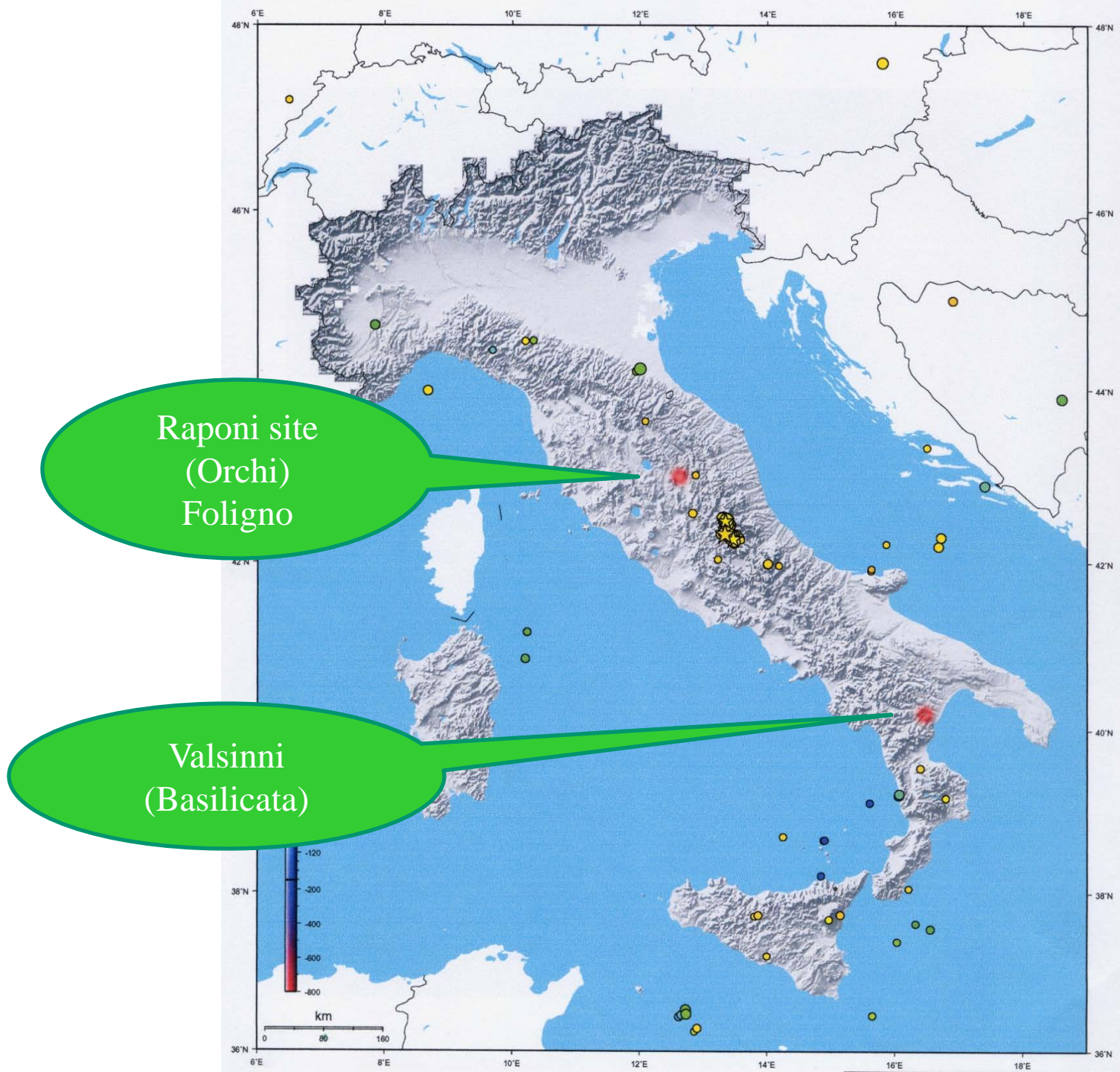


Bagno di  
Romagna  
(top) &  
Orchi's LF  
smoothed  
daily AE  
(bottom)

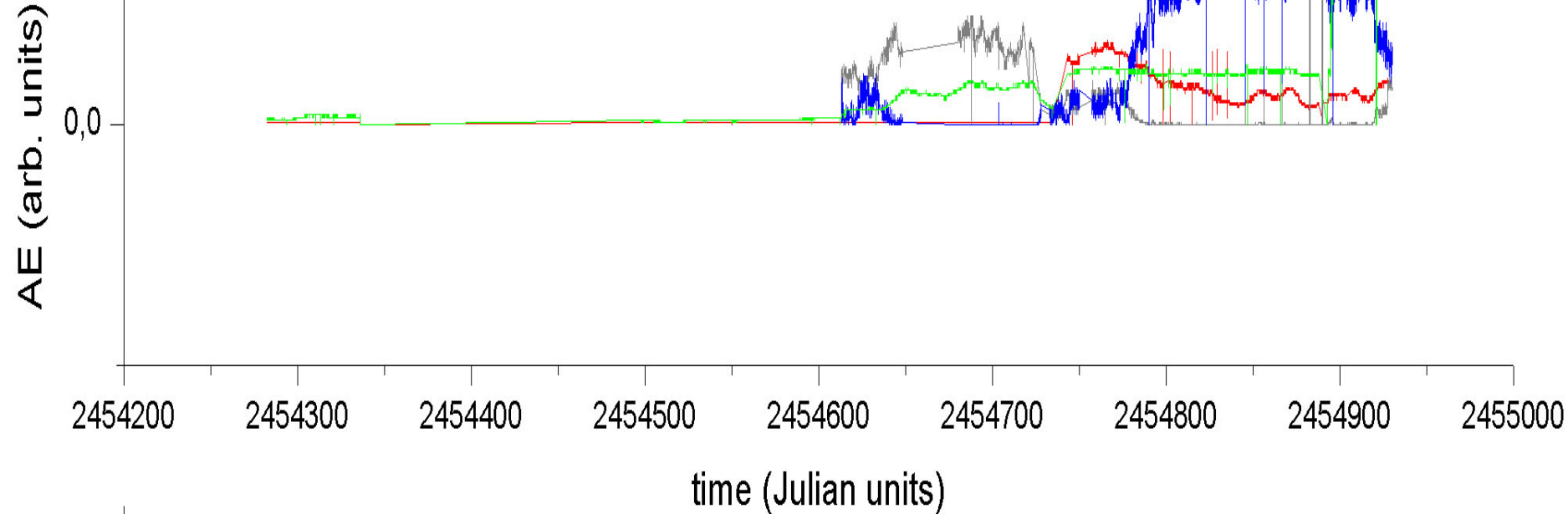
# Terremoto de L'Aquila 6 de April 2009



Magnitudo 5.8 de la escala Richter

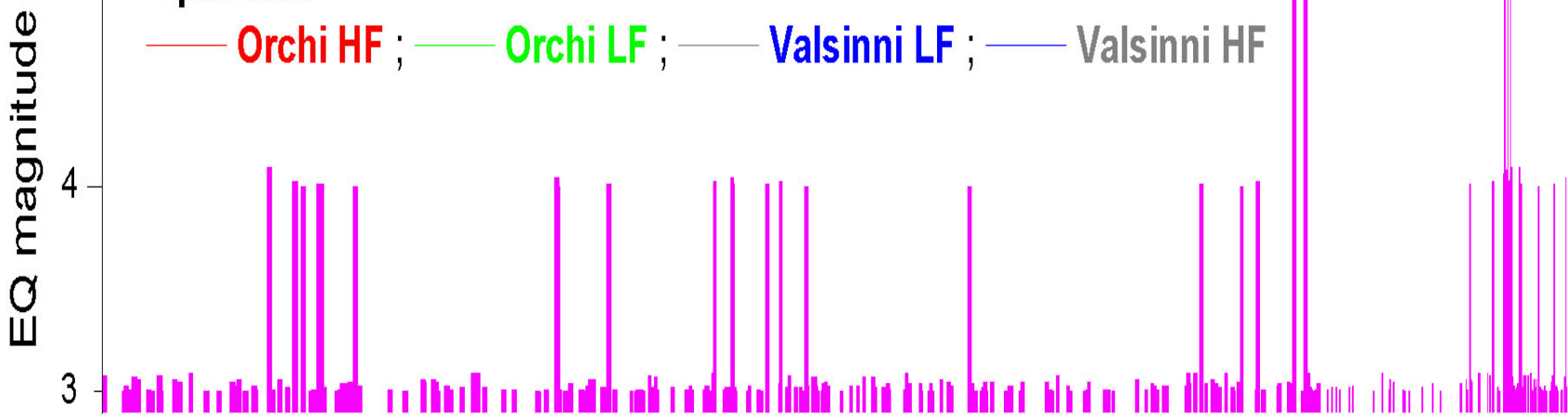


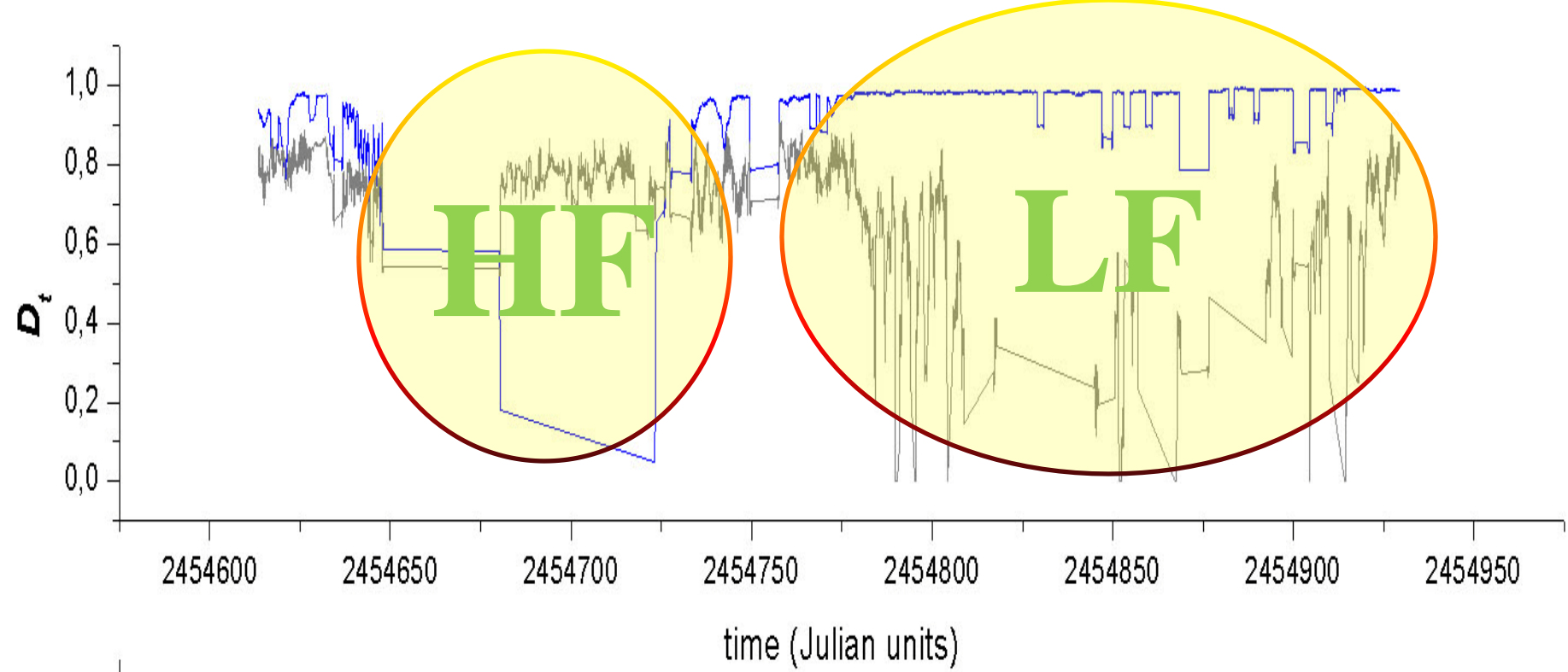
Inputs  
(detail)



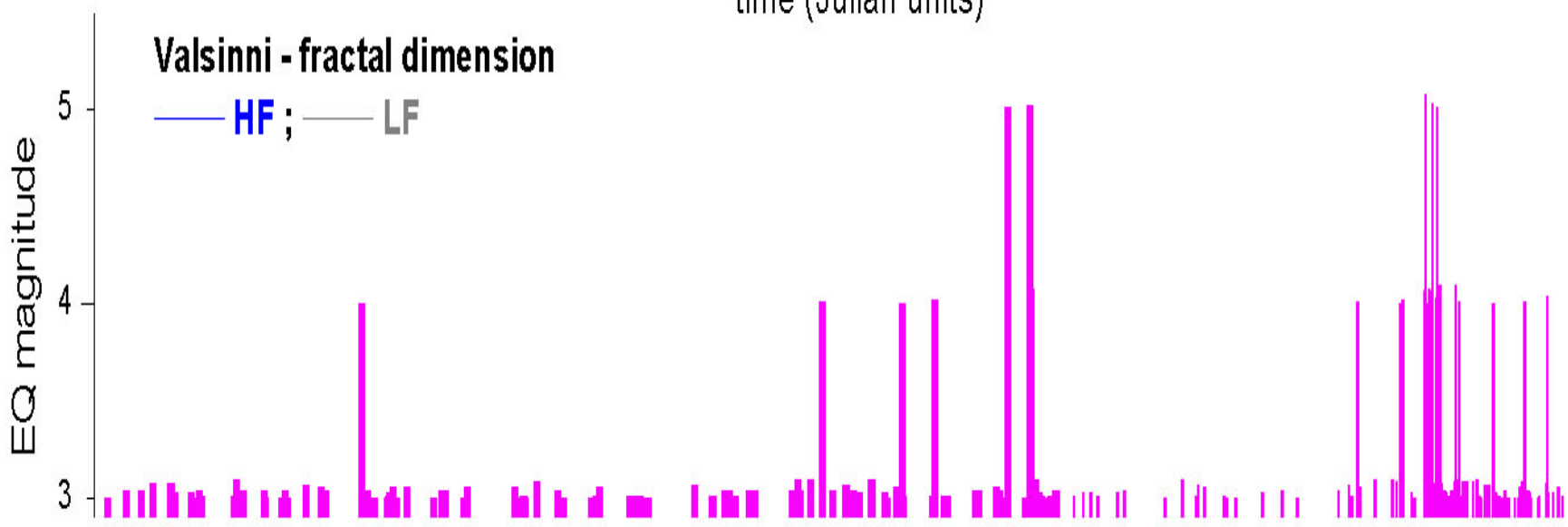
input data

Orchi HF ; Orchi LF ; Valsinni LF ; Valsinni HF





**Valsinni - fractal dimension**  
— HF ; — LF



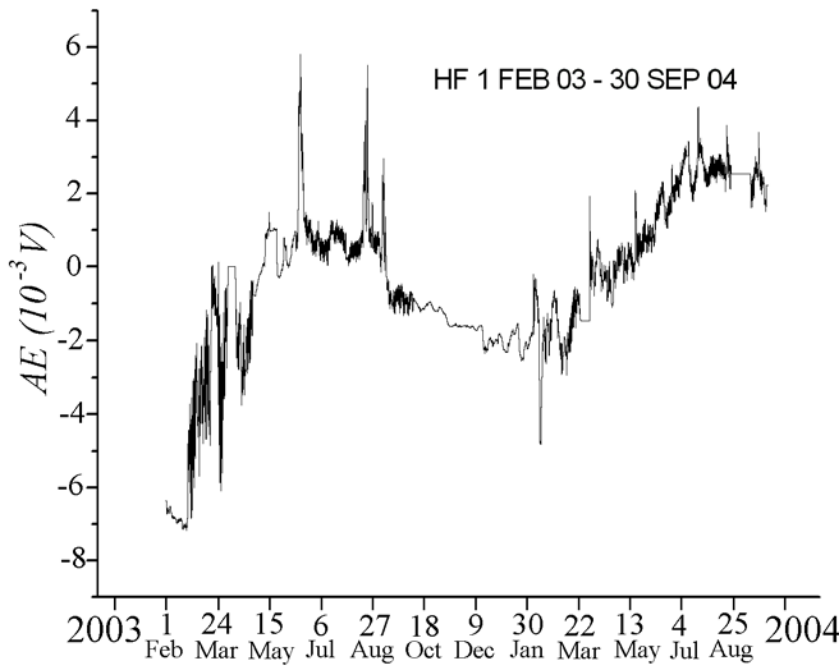
**It is just like shacking a table**

**Consider a table with several  
glasses, variously replenished  
with wine**

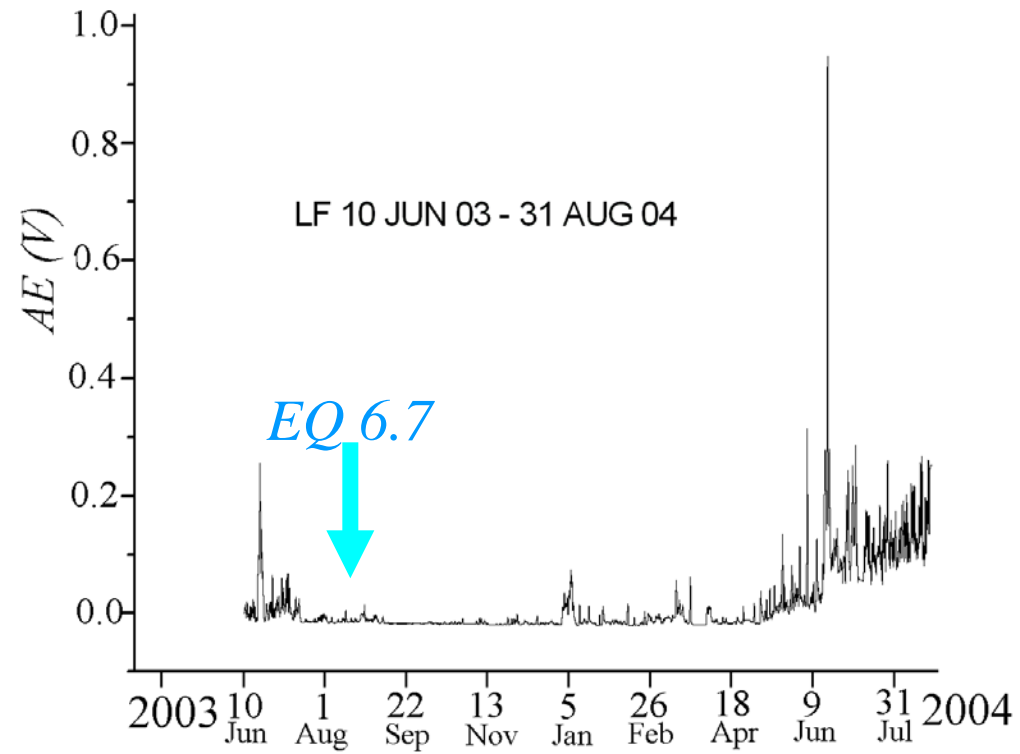
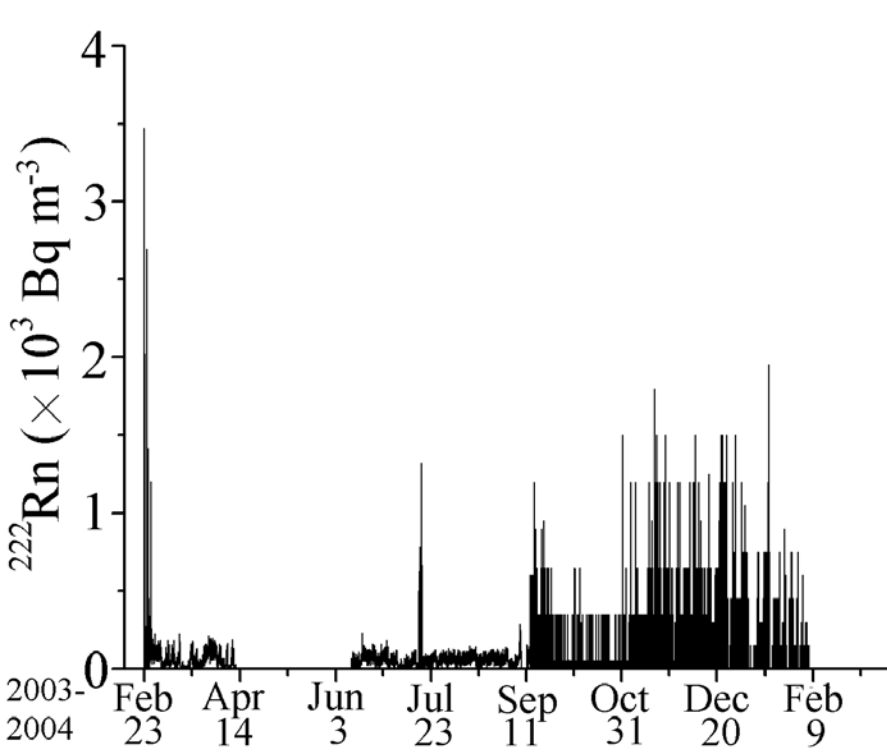
**When the table is shaken, some  
glass experiences a “catastrophe”  
and wine gets out**

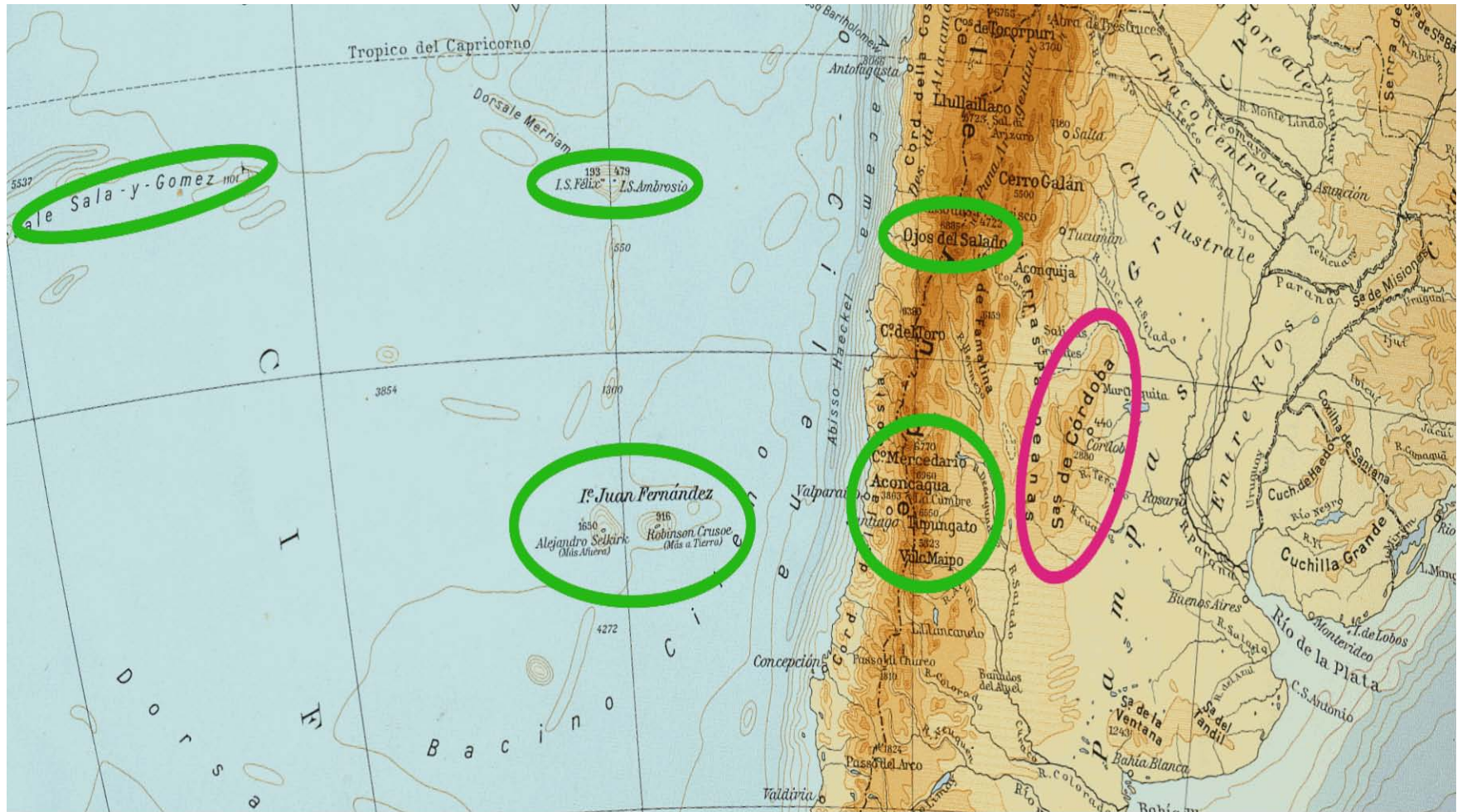
➤ **Liken**  
**the table to a slab of lithosphere**  
**the trembling wine to the crustal**  
**stress (that can be *AE* monitored),**  
**and**  
**the wine “catastrophe” to an**  
**earthquake**





# Cefalonia





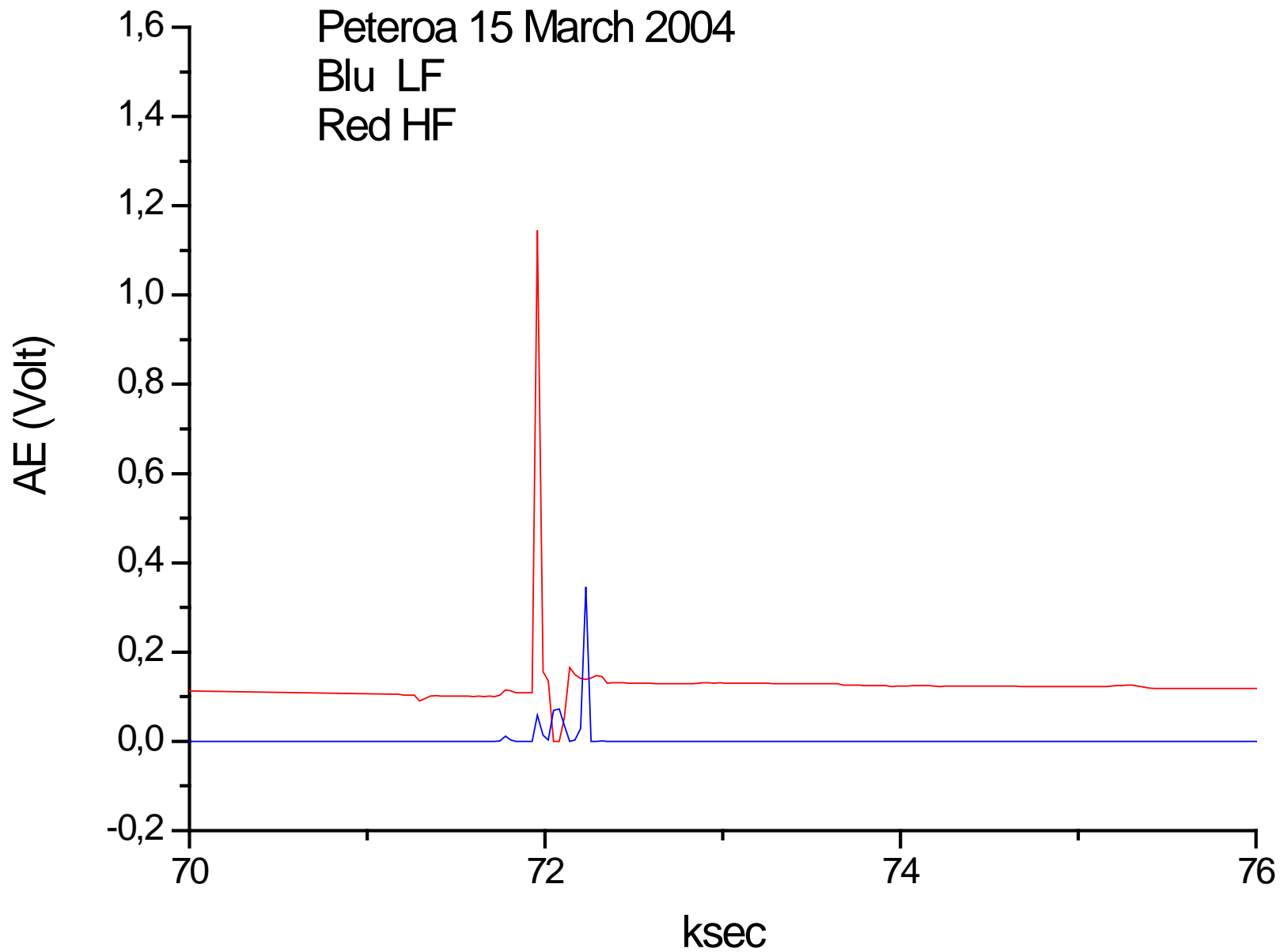
*Eastward Easter-Island belt (EastEIB), i.e. the longitudinal belt or strip comprised between two alignments, at constant latitude. One runs at  $\sim 27^\circ$  S, through the Easter Island – Sala y Gomez – Islas Desventuradas (San Ambrosio and San Felix). The other is at  $\sim 32^\circ$  S, through the Juan Fernandez Islands.*



Volcano Peteroa, occurring at the crossing of the Andes with the southern boundary of the *EastEIB*. The pictures, by one of the authors (G. Paparo), show himself with J. Ruzzante while they are setting up an *AE* recording station. The tiny fog on top of the mountain is originated by fumarolic

# Fumarola en el Peteroa





**ICES** - International Centre for Earth's Sciences

**INOGS**

**CNR**

**INGV**

**OSUM**

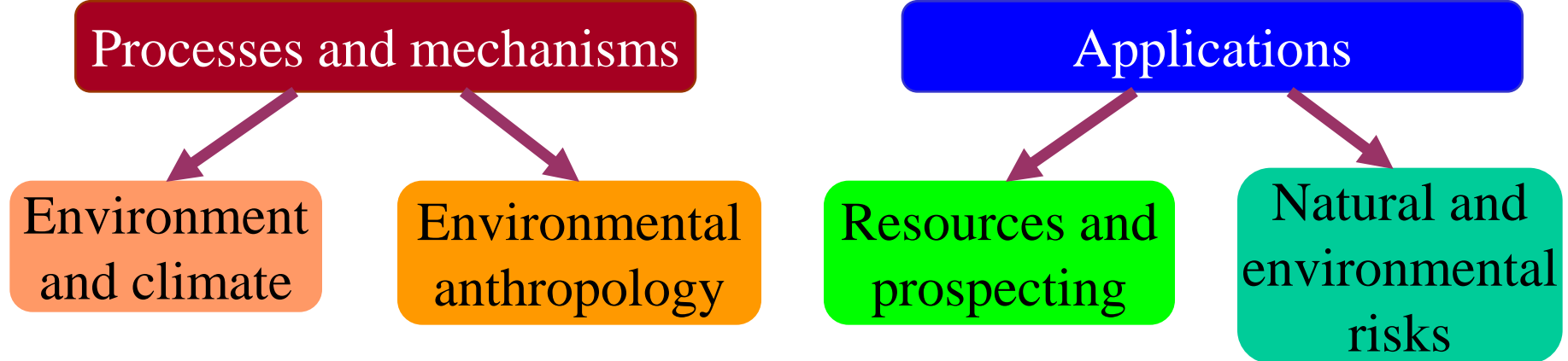
**ICES-Argentina**

**SECYT-CONEA-CONICET**

**Intendencia de Malargüe**

**28 Novembre 2006 Buenos Aires**

# *ICES* Departments



## Conclusiònes

- *Los señales Ultrasonidos*, encontran un amplia gama de applicaciònes y en diferentes sectores disciplinares.
- *Las Emisiones Acusticas* ofrecen prospectivas ensperadas para el estudio de la memoria de los esfuerzos cual està sometido un elemento de una estructura o toda la estructura.

*La EA es un medio diagnostico* para investigaciones en metalurgia y en los materiales de interese científico, donde es necesario asociar las emision con las condiciònes fisicas del medio (fatica, creep ecc.).

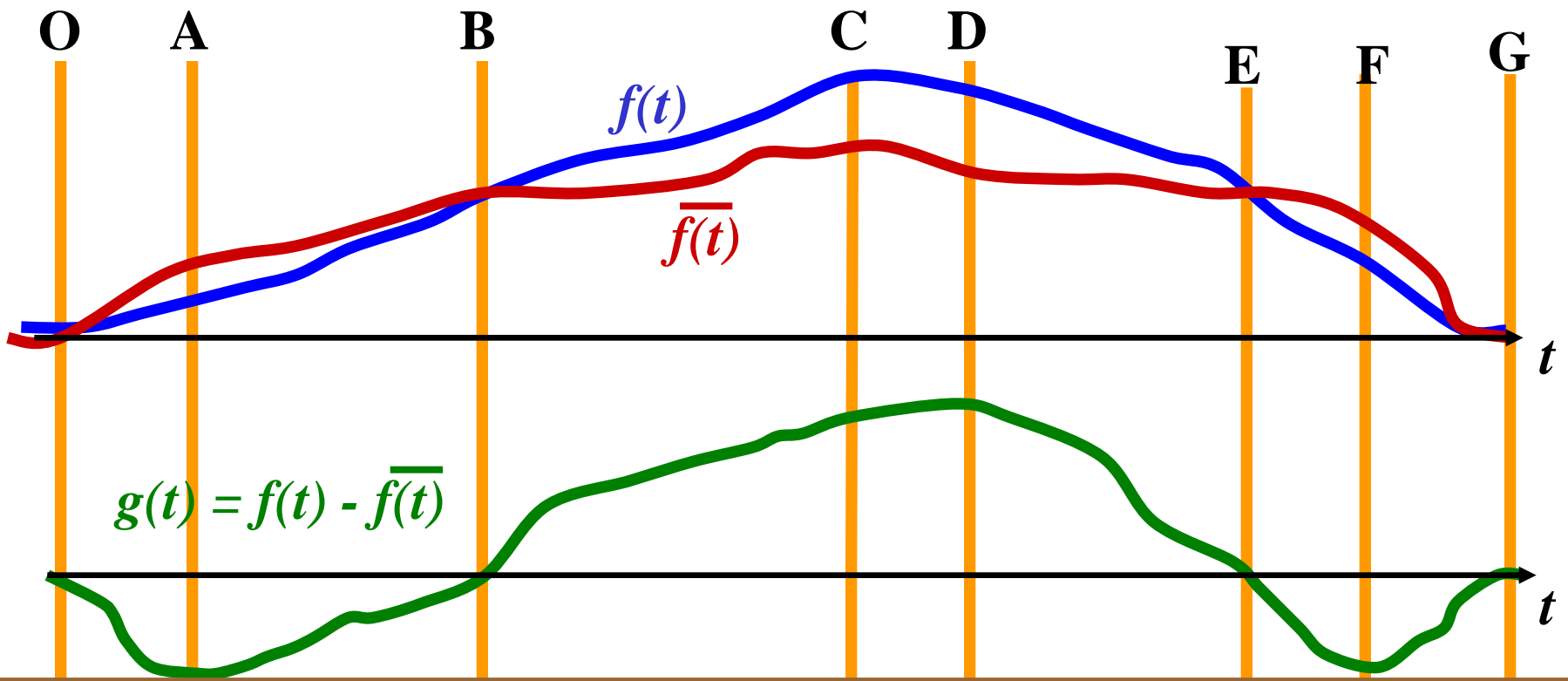
*Con particolares tecnicas de detecciòn de los señales de EA y con la aplicaciòn de distintos mètodos de analisis en los señales, se pueden arriesgar previsiones sobre el subseguirse de fenomenos fisicos paroxisticos.*

- El sublevarse de señales de EA, siendo debidos a redistribuciòn de energia en el material asociada a fenomenos de deformaciòn y fractura, es el resultado de la **evoluciòn de un proceso fisico**.
- *La EA revela los sòlos defectos patològicos del ejemplar en examen.*
- *En los materiales compuestos*, nos habemos todavia areas inexplorade que conciernen la implicaciòn de los fenomenos debido a la propagaciòn de los ultrasonidos.

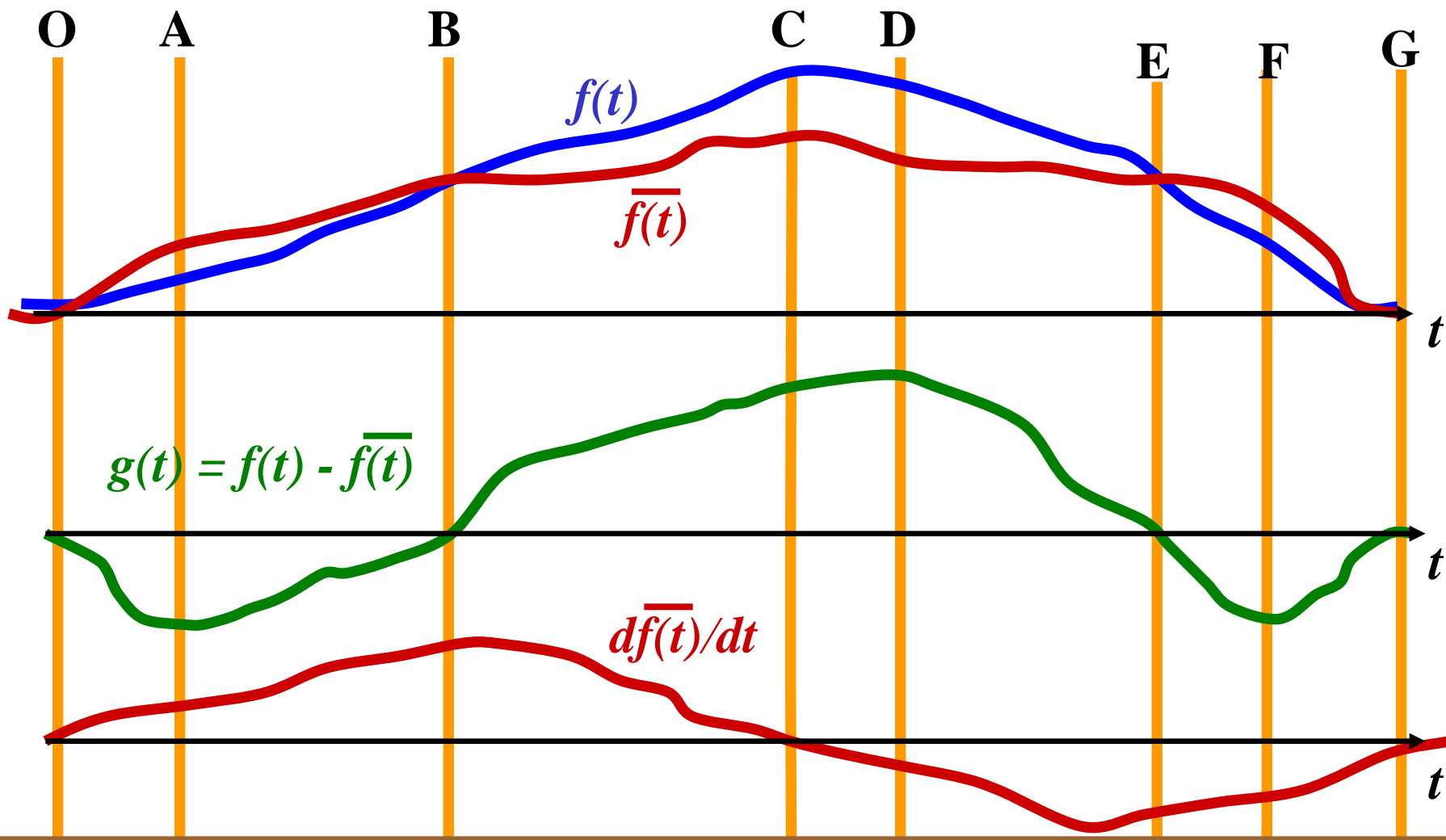


*Muchas Gracias*

Isla de Stromboli



# The “hammer effect”



# The “hammer effect”

